

МИНИСТЕРСТВО ГЕОЛОГИИ СССР
МИНИСТЕРСТВО ГЕОЛОГИИ РСФСР
ДАЛЬНЕВОСТОЧНОЕ ПРОИЗВОДСТВЕННОЕ ГЕОЛОГИЧЕСКОЕ ОБЪЕДИНЕНИЕ

Уч. № 032

ГОСУДАРСТВЕННАЯ ГЕОЛОГИЧЕСКАЯ КАРТА СССР

МАСШТАБ 1:200 000

СЕРИЯ ДЖУГДЖУРСКАЯ

Лист №-53-VII

Объяснительная записка

Составитель *А.Ф.Васкин*
Редактор *Ю.П.Рассказов*

Утверждено Научно-редакционным советом ВСЕГЕИ

9 декабря 1971 г., протокол № 35

МОСКВА 1985

О Г Л А В Л Е Н И Е

	Стр.
Введение	5
Геологическая изученность	7
Стратиграфия	10
Интрузивные образования	29
Тектоника	56
Геоморфология	64
Полезные ископаемые	67
Подземные воды	76
Оценка перспектив района	78
Литература	83
Приложение	87

ВВЕДЕНИЕ

Территория листа № -53-УП ограничена координатами $54^{\circ}40'$ - $55^{\circ}20'$, с.ш. и $132^{\circ}00'$ - $133^{\circ}00'$, в.д. и входит в Тугуро-Чумиканский район Хабаровского края и Зейский район Амурской области РСФСР. Граница между районами проходит по осевой части хр.Джугдыр и по рекам Эдигу-Чайдах, Mae, Атаге.

Район относится к горной системе хр.Станового. Основными орографическими единицами района являются хребты Майский, Атагский и Джугдыр. Их абсолютные высоты колеблются от 1400 до 2000 м. Относительные превышения составляют 600-1100 м. Для хребтов характерны узкие пологие гребни, крутие склонов. Речная сеть района принадлежит бассейнам двух крупных левых притоков р.Уди - рекам Mae и Чогару, водоразделом между которыми является Майский хребет. Река Mae берет свое начало на южных отрогах хр.Станового за пределами территории листа. Она является типичной горной рекой с быстрым (1,5-1,8 м/с) течением, обилием протяженных (до 2 км) каменистых перекатов и узкой (0,5-2 км) долиной. Ширина русла 50-120 м, глубина 0,4-5 м. Абсолютные отметки днища долины в пределах района постепенно уменьшаются вниз по течению от 700 до 370 м. Наиболее крупными притоками р.Май являются реки Бол.Чайдах, Эдигу-Чайдах, Сехтаг, Атага и Салга. Это неширокие (до 30 м), неглубокие (0,4-2 м), стремительные водотоки, текущие в каменистых руслах. С ними по характеру и режиму сходны р.Чогар и реки ее бассейна - Джагарма, Нимняркай, Оманджа. Режим рек неустойчивый, сток формируется в основном за счет атмосферных осадков. В летние дождевые паводки уровень воды в них быстро поднимается на 2-5 м, но уже на 2-3 день после прекращения дождей реки вновь входят в свои берега. Передвижение на моторных лодках возможно лишь по р.Мae в большую воду.

Для лесостепи пригодны отдельные участки р.Маки протяженностью до 10 км.

Климат района резко континентальный. Среднеголовая температура отрицательная (-6,-2°). Зима продолжительная (ноябрь - март), суровая и малоснежная. Лето короткое, умеренно-теплое, дождливое. Температура воздуха зимой колеблется от -24° до -54°, летом от +7° до +37°. Среднегодовое количество осадков составляет 570-600 мм, из них 370-400 мм выпадает в июне - сентябре. Снег лежит в начале октября и сходит в начале мая. В эти же сроки происходит ледостав и вскрытие рек. Мощность снегового покрова не превышает 0,6 м. В зимние месяцы преобладают ветры, дующие с севера и северо-запада, в остальное время года - с юго-запада и юго-востока. Среднемесчная скорость ветра колеблется от 2 до 5 м/с. Наиболее сильные ветры (до 15 м/с) наблюдаются в декабре, апреле и мае. В районе повсеместно развита многолетняя мерзлота, которая распространяется, судя по данным бурения на сопредельной с запада территории, на глубину более 25 м. На южных склонах водоразделов глубина оттаивания грунтов к концу лета составляет 1,5-2 м, на северных - 0,2-0,5 м.

Растительность района горно-таежная. З ее распределении отмечается вертикальная зональность. На гольевых вершинах высотой более 1400 м развиты в основном мхи и лишайники. На уровне абсолютных высот 1400-800 м преобладают заросли кедрового стланника и карликовой бересни. В долинах рек и на склонах гор до высоты 800 м распространены лиственница, ель, тополь и бересняк. Древесина в этих местах пригодна для использования в качестве строительного, крепкого материала и топлива.

Населенных пунктов в районе нет. Экономически он не основан. Ближайший населенный пункт - с.Ульское расположено в 135 км к востоку от центра площади листа. В с.Ульском имеется сельсовет, почтовое отделение, телеграф, аэродром, принимающий самолеты АН-2. Дорог на территории листа нет. В долинах большинства крупных рек проходят тропы, пригодные для вынуженного транспорта. Преодоление вьючными оленями перевалов через хр.Майский возможна в истоках рек Чагар и Чагарма-Макит, через Алгаский хребет - в истоках руч.Атакан и р.Салани.

Обнаженность в районе удовлетворительная. По долинам рек и на водоразделах встречаются протяженные (до 4 км) обнажения, на склонах развиты осыпи.

ГЕОЛОГИЧЕСКАЯ ИЗУЧЕННОСТЬ

Первые представления о геолого-географических особенностях района базировались на материалах, полученных на сопредельных плоскоднях экспедицией Н.Г.Меликского (1851 г.). Проведенные в 1857-1858 гг. Н.П.Аносовым /26/ и в 1910 г. К.В.Проховским /32/ поисковые работы на россыпное золото на территории листа принципиально новых сведений о геологии района не дали.

В 1926 г. В.В.Купер-Конин /35/ провел рекогносцировочные маршрутные исследования по рекам Чогар, Эдигу-Чайдах и Бол.Чайдах. Он отметил широкое развитие в западной части территории листа метаморфических и интрузивных пород.

В 1936 г. в юго-западной части района П.С.Бернштейн /27/ провел геологическую съемку масштаба 1:200 000, принянную впоследствии кондиционной для карт масштаба 1:500 000. Им была предпринята первая попытка расщепления метаморфических образований на архейские, протерозойские и палеозойские.

В 1952 г. восточную и северо-западную части территории листа закартировал в масштабе 1:1 000 000 В.Н.Мошкин /38/. Он выделил в районе архейские и нижнепротерозойские, метаморфические образования, относя к первым гранатовые гнейсы правобережья р.Атаги, а ко вторым - толщу "миматитов и инъекционных гнейсов" и толщу "сладистых сланцев и мраморов", развитых на оставшейся части плоскодня. Из интрузивных образований В.Н.Мошкиным были выделены раннепротерозойские граниты, раннемеловые гранодиориты, габбро-диориты и гранодиорит-порфиры. Важнейшим итогом работ В.Н.Мошкина явилось выделение в районе нижнепротерозойского складчатого обрамления Алданского щита.

Результаты исследований Л.С.Бернштейна и В.Н.Мошкина легли в основу северо-западной части геологической карты листа №-53 масштаба 1:1 000 000, составленной Л.И.Красным в 1955 г. /14/.

В 1957-1958 гг. Е.Г.Херувимова /40/ и И.И.Шапочкина /42/ произвели аэромагнитную съемку масштаба 1:200 000 всей рассматриваемой территории, по результатам которой была издана карта магнитного поля листа №-53-УП /6/.

В 1970 г. для бассейна р.Уды, включающего площадь листа №-53-УП, составлена гравиметрическая карта масштаба 1:1 000 000 /37/.

В 1966 г. на площади листа В.Н.Купельман /36/ и С.В.Деник-
сов /33/ провели поиски юрасских месторождений золота.

Из региональных исследований, выполненных на территории Алданского щита и Становой складчатой области, принципиально важное значение для понимания геологии района имеют работы Л.С.Коржинского /12/, В.К.Дзевановского /7/, В.Н.Мошкина /17/, И.В.Н.Г.Судовикова /22/, В.П.Расказова /20/.

В 1966-1969 гг. Дальневосточное территориальное геологическое управление проводило на территории листа № 53-УП комплексную геологическую съемку и поиски масштаба 1:200 000. В этих работах, помимо А.Ф.Васильева, участвовали геологии: В.А.Бучинский, В.И.Макар, В.Б.Григорьев, В.В.Гончаров и др. Полученные материалы легли в основу Государственной геологической карты и карты полезных ископаемых листа № 53-УП и настоящей обобщительной записи к ним. При их составлении учтены результаты геофизических исследований и ленинградирования взородотосников масштаба 1:28 000 на всю площадь листа, а также данные геологических съемок масштаба 1:200 000, проведенных на сопредельных территориях /2,3,25,28,30,34,41/.

На карте гравитиков ДТ метаморфические и интрузивные породы архея и нижнего протерозоя по характеру магнитного поля не отличаются друг от друга. На Ней в ряде случаев выделяются лишь отдельные массивы раннемеловых гранитоидов (рис. I). По данным гравиметрической съемки вся территория листа входит в поле гравитационного минимума. В физических полях на юге района и на широте рек Эдигу-Чайдах и Мам выражаются градиенты (ступеньки), прослеживающиеся и на сопредельные площади. Эти элементы поля, по-видимому, связаны с зонами благоприятных разломов, контролирующих

размещение позднепалеозойских (?) и мезозойских интрузий.

Государственная геологическая карта листа № 55-3-711 юго-западного узла, составленная для смежных площадей на

западе и востоке. На северной и южной рамках имеется невязка.

В связи с уточнением возраста метаморфизованных гасоридов и юртсаштов, которые ранее считались ранне-протерозойскими. Кроме

того, на геологической карте листа N-53-XIII в бассейне руч. Гиркан показаны анортозиты, а на юго-западе настоящего листа, вдоль его южной рамки, в этом же месте — раннепротерозойские (?) кварцевые диориты и позднепалеозойские (?) граниты. Вдоль северной рамки в бассейне р. Салги имеются расхождения в индексации гранитоидов Чалбук-Яконского массива, которые на геологической карте листа N-53-I отнесены к поздненижнемеловым, а на карте листа

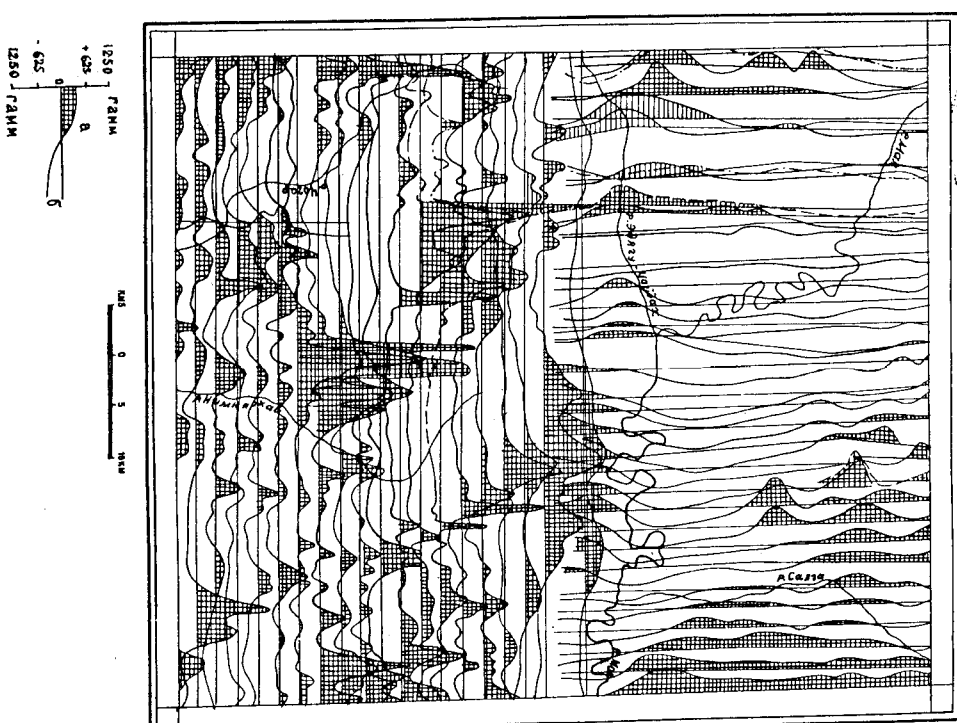


Рис.1. Карты графиков Δ Т

Значения ΔT : а – положительные, б – отрицательные

Н-53-УТ - к ранненеогеновому. Часть полезных ископаемых в целом увязана с картами смежных площадей, однако вдоль северной рамки к ней подведен металлометрический ореол рассеяния никеля, который нашими работами не обнаружен.

Все аналитические работы произведены в Центральной опорной лаборатории ДВГУХ: спектральные - А.И.Перминой и А.И.Журовой, химические - Г.Г.Павлюченко, А.И.Скулинц, палинологические - И.Б.Мамонтовой, Л.И.Лукашевой, определения абсолютного возраста пород - Т.К.Ковалчук.

СТРАТИГРАФИЯ

Стратифицированные образования в районе представлены в основном глубокометаморфизованными породами архея и нижнего протерозоя. Менее развиты верхнепротерозойские и верхнемирские - нижненемеловые эфлюэзы. Повсеместно распространены четвертичные элювиально-делювиальные, аллювиальные и ледниковые отложения.

А Р Х Е Й С К А Я Г Р У П П А

В северной части территории листа распространены гиперстен-, амфибол-, гранат- и биотитсодержащие кристаллические сланцы и гнейсы, мраморы и кальцифиры, находящиеся в структурном, стратиграфическом и литологическом единстве с архейскими толщами Алданского щита. По характеру разреза и положению в складчатой структуре района они расщеплены на корикансскую свиту Тимитонской серии и сутамскую, худуркансскую свиты джелтулинской серии. В бассейне р.Чагар к архею отнесены породы, диагностированные в амфиболовой фации, но по характеру ультраметаморфических проявлений и сохранившимся местами реликтовым ассоциациям минералов гранулитовой фации метаморфизма весьма сходные с архейскими образованиями Алданского щита. В соответствии с решением 2-го Дальневосточного стратиграфического совещания, состоявшегося в 1965 г., эти породы отнесены к Джанинской серии.

Тимитонская серия

К ю р и к а н с к а я с в и т а (АР № 1). В бассейнах руч. Бол.Курумкан и р.Атага закартирована толща преимущественно мезо-

х/

С 1980 г - дальневосточное производственное геологическое обследование.

и лейкократовых двутироксеновых и гиперстеновых кристаллических сланцев и гнейсов, которая по характеру разреза и структурному положению споставима с кориканской свитой, развитой на сопредельных с северо-запада и северо-востока территориях. Она обнаруживается в ядре Идомской антиклинали, установленной Ю.Н.Гамалеем /2/ в верховье р.Мая. В разрезе кориканской свиты в междуречье Аты и Большой Курумканы по частям коренным обнажениям и эпивальным высыпкам прослеживаются (снизу вверх):

I. Кристаллические сланцы и гнейсы двутироксено-

совые и роговообманково-двутироксеноевые, с

прослоями (5-10 м) гиперстеновых кристаллических сланцев 200 м

2. Кристаллические сланцы гиперстеновые с прослоями (0,1-0,15 м) двутироксеновых гнейсов 320 "

3. Кристаллические сланцы и гнейсы двутироксеноевые 60 "

4. Кристаллические сланцы гиперстеновые 260 "

5. Кристаллические сланцы гиперстен-рогово-

обманковые 90 "

6. Гнейсы двутироксеноевые 50 "

7. Кристаллические сланцы гиперстен-роговооб-

манковые 30 "

8. Гнейсы и кристаллические сланцы двутиро-

ксеноевые 320 "

9. Амфиболиты 40 "

10. Кристаллические сланцы гиперстеновые 170 "

II. Амфиболиты 50 "

12. Кристаллические сланцы и гнейсы двутироксено-

вые и роговообманково-двутироксеноевые 730 "

Мощность разреза 2320 м.

Мощность кориканской свиты в районе достигает 2500 м.

Кроме пород, перечисленных в разрезе, в составе свиты среди двутироксеноевых кристаллических сланцев в виде прослоев (1-10 м) встречаются гранат-биотитовые гнейсы. В отличие от стратотипического разреза кориканской свиты в бас.р.Сутам, составленного Д.К.Дзевановским /7/, на территории листа в составе свиты отсутствуют гранатсодержащие гнейсы, что, по-видимому, обусловлено фациальными изменениями ее по простиранию. Непосредственно в районе фациальных изменений в свите не отмечено.

Джелтухинская серия

Сутанская свита (Арт.). Нерасчлененные отложения сутансской свиты заходят в район со смежной с севера терриории. Они развиты на левобережье р.Мая в бассейнах правых притоков р.Атаги, слагая юго-западное крыло Идомской антиклинали. Сутанская свита сложена в основном гранат- и графит-содержащими гнейсами и кристаллическими сланцами. Она согласно залегает на кориканской свите. Граница между ними проводится по резкой смене мезократовых двутироксеновых, роговообманково-двутироксеновых кристаллических сланцев кориканской свиты биотит-гранатовыми и гранат-гиперстеновыми гнейсами сутансской свиты. Разрез сутанской свиты составлен по частям коренным обнажениям и элювиальным высоткам на требне водораздела между р.Атой и руч.Бол. Курумкан, где на кристаллических сланцах кориканской свиты залегают (снизу вверх):

1. Гнейсы гранат-гиперстеновые и биотит-гранатовые с прослойями (4,5-15 м) двутироксеновых кристаллических сланцев	230 м
2. Гнейсы графит-биотит-гранатовые	60 "
3. Гнейсы гиперстен-гранатовые	20 "
4. Кристаллические сланцы гранат-двутироксеновые	30 "
5. Гнейсы графит-гранат-биотитовые	260 "
6. Кристаллические сланцы и гнейсы биотит-двутироксеновые	70 "
7. Гнейсы биотит-двутироксеновые	170 "
8. Кристаллические сланцы и гнейсы биотит-двутироксеновые	220 "
9. Гнейсы гранат-гиперстеновые	30 "
10. Кристаллические сланцы роговообманково-двутироксеновые	80 "
II. Гнейсы биотит-гранатовые и биотит-двутироксеновые	270 "
12. Гнейсы графит-биотит-гранатовые	210 "

Мощность разреза 1650 м. Мощность свиты в районе составляет 2500 м. Сутанская свита претерпевает незначительные фациальные изменения по простирации. В направлении на северо-запад от водораздела между р.Атой и руч.Бол.Курумкан в ней уменьшается количество прослоев и пачек кристаллических сланцев.

Худурканская свита распространена преимущественно в междуречье Бол.Чайдаха и Эдигу-Чайдаха, куда она

прослеживается со смежных с северо-запада и запада территорий. Выходы худурканской свиты приурочены к тектоническому блоку, отделенному с северо-востока от пород сутансской свиты Майским разломом, а с юга от нижнетретерозойских образований - близиэрозионным Становым глубинным разломом и массивом раннемеловых гранитоидов. Худурканская свита в районе расщеплена на две толщи, согласимые с нижней и средней подсвитами стратотипического разреза худурканской свиты в бассейнах рек Утук и Сивак /II/. Нижняя подсвита (Арт.) сложена преимущественно двутироксен-рогообманковыми, роговообманково-двутироксеновыми кристаллическими сланцами и биотит-рогообманково-гиперстеновыми гнейсами. Они обнажаются в ядрах антиклинальных складок высоких горячков. Разрез подсвиты изучен в почти непрерывных береговых обнажениях р.Мая, где наблюдаются (снизу вверх):

1. Амфиболиты и двутироксен-рогообманковые кристаллические сланцы

2. Кристаллические сланцы рогообманково-двутироксеновые

3. Гнейсы биотит-рогообманково-гиперстеновые, роговообманково-двутироксеновые и двутироксеновые

4. Кристаллические сланцы рогообманково-двутироксеновые

5. Гнейсы биотит-рогообманково-гиперстеновые

6. Кристаллические сланцы рогообманково-двутироксеновые с прослойями (0,1-0,5 м) биотит-двутироксеновые гнейсы

7. Гнейсы биотит-двутироксеновые

8. Кристаллические сланцы двутироксен-рогообманковые

9. Гнейсы биотит-рогообманково-гиперстеновые

10. Кристаллические сланцы роговообманково-двутироксеновые

II. Гнейсы биотит-гранатовые и биотит-двутироксеновые

12. Гнейсы графит-биотит-гранатовые

Мощность нижней подсвиты в разрезе равна 1670 м, в районе же она достигает 2400-2500 м.

Средняя подсвита (Арт.) отличается от нижней более мелкократовым составом слагающих ее кристаллических сланцев и присутствием среди них прослоев и пачек мраморов и кальцифиров. Она обнажается преимущественно в ядрах синклинальных складок. Граница между подсвитами четкая и проводится по подошве первой пачки мраморов и кальцифиров мощностью 80-100 м. Разрез средней подсвиты изучен в нетрaversableных береговых обнажениях р.Мая ниже устья р.Атаги. Здесь на двутироксен-рогообманковых кристаллических сланцах нижней подсвиты залегают (снизу вверх):

1. Мраморы и кальцифиры с прослойками (0,3-5 м) двутиroxсен-ротовообманковых кристаллических сланцев	80 м
2. Кристаллические сланцы гранат-двутиroxсено-вые с прослойками (0,8-15 м) мраморов	150 "
3. Кристаллические сланцы двутиroxсен-ротово-обманковые и амфиболиты с прослойками (0,3-5 м) каль-цириров	60 "
4. Кристаллические сланцы двутиroxсеновые	50 "
5. Мраморы и кальцифиры	30 "
6. Рассланцованные ротовообманково-двутиrox-сеноевые кристаллические сланцы с частями (0,2-3 м) прослоями и линзами мраморов и кальцириров	240 "
7. Кристаллические сланцы гранат-двутиroxено-вые с прослойками (5-15 м) амфиболитов	140 "
8. Кристаллические сланцы двутиroxсеновые и рото-говообманково-двутиroxсеновые с прослойками (4-15 м) амфиболитов	425 "
9. Кристаллические сланцы и гнейсы биотит-двутиroxсеновые с прослойками (0,3-6 м) и линзами мра-моров и кальцириров	580 "
10. Кристаллические сланцы двутиroxсен-ротово-обманковые	190 "
Мощность разреза 1945 м. Мощность средней подсвиты в районе превышает 2200 м. Кроме пород, указанных в разрезе, в ней изред-ка встречаются биотит-гранатовые гнейсы и их силиманитодержа-щие разности, слагающие паки мощностью около 20-30 м. В целом же состав средней подсвиты по простирации довольно выдержан.	

Джанинская серия

Н е р а с ч л е н е н и е о т л о ж е н и я (Ar/d^2). Породы, отнесенные к джанинской серии, распространены в бассейнах верхних течений рек Чогар, Чогар-Макит, Амгускан и Шавиль-кий. Они представлены рассланцованными биотитовыми, ротовообманко-биотитовыми гнейсами, их граув-и графитодержащими раз-ностями, амфиболитами и пироксен-ротовообманковыми кристаллическими сланцами. Все эти породы являются диаборитами по гней-сам и кристаллическим сланцам гранулитовой фации метаморфизма - двутиroxсеновым, ротовообманково-двутиroxсеновым, гранат-двутиroxсеновым и др., сохранившимися в отдельных участках и интрузированных аляскитовыми гранитами, сходными с архейскими.

Диабориты слагают выступ архейского фундамента в Ставновой складчатой области, получивший название Чогарской глыбы /28/. От пород джелтулинской и тимптонской серий джанинских отделена полосой (10-20 км) нижнетретерозойских метаморфических пород, с которыми она граничит по близшитному Ульханскому разлому. Значительные минеральные и структурные преобразования пород Чогарской глибы, обусловленные диаборитом, затрудняют расчленение разрезов. Разрез джанинской серии изучен в береговых обнажениях второго сверху крупного левого притока р.Чогар (снизу вверх):

1. Кристаллические сланцы пироксен-ротовообман-ковые, с прослойками (до 4 м) магнетитовых кварцитов	120 м
2. Гнейсы биотитовые	530-600 "
3. Кристаллические сланцы пироксен-ротово-обманковые	20 "
4. Гнейсы ротовообманково-биотитовые, в низах пачки 4-метровый прослой магнетитовых кварцитов	450 "
5. Кристаллические сланцы гранат-двутиroxсе-новые	160 "
6. Гнейсы ротовообманково-биотитовые и биотито-вые	50 "
7. Кристаллические сланцы гранат-двутиroxсе-новые	60 "
8. Гнейсы биотит-ротовообманковые	150 "
9. Гнейсы гранат-биотитовые	160 "
10. Гнейсы гранат-биотитовые и граув-, гранат-биотитовые	280 "
II. Кристаллические сланцы двутиroxсен-ротово-обманковые	120 "

Всего по разрезу мощность джанинской серии составляет 2100-2170 м, в районе же она оценивается в 3500 м. Кроме пород, указанных в разрезе, в ней отмечаются прослои (8-15 м) биотит-

ротовообманковых кристаллических сланцев, кальцифиры, амфиболи-тров-ротовообманковые, гиперстеновые, биотит-двутиroxсеновые и другие кристаллические сланцы, развитые в кориканской, сутам-ской, хулурканской свитах, и недиабориторионные кристаллические сланцы джанинской серии представляют собой темно-серые и зеле-

новато-серые с буроватым оттенком мелко- и среднезернистые гравийные, полосчатые, гнейсовые и массивные породы с гранобластовой и гранобластовой структурами. В киринской и сутамской свитах преобладают лейко- и мезократовые кристаллические сланцы, содержащие 10–25% темноцветных минералов, в худурканской свите и в джанинской серии распространены более меланократовые породы. Минеральный состав кристаллических сланцев сильно варьирует: плагиоклаз (№ 30–60) – 40–75%, диопсид ($c_{\text{Nb}} = 32$ –43°, $2V = +54$ –69°) – 1–30%, гиперстен ($2V = -50$ –73°) – 0,35%, зеленовато-бурые роговатые обманка ($c_{\text{Nb}} = 10$ –14°, $2V = -64$ –73°) – 0–35%, биотит – 0,15%. Спорадически встречаются гранат (до 10%), кварц (до 5%) и калиевый полевой шпат (до 10%). Аксессории представленырудными минералами, цирконом и алатитом. С кристаллическими сланцами по внешнему виду сходны амфиболиты, часто встречающиеся в киринской и худурканской свитах. Это темно-серые среднезернистые породы с немагнитной обломковой структурой. Они состоят из плагиоклаза (24–30%), зеленовато-бурых роговых обманки (70–72%), изредка содержат биотит (до 3%) и гранат (до 5%).

Двупироксеновые, биотит-двутироксеновые, роговообманково-двутироксеновые, биотит-рогообманково-гиперстеновые и гранат-гиперстеновые гнейсы сходны между собой по внешнему виду и качественному минеральному составу. Это серые, зеленовато-серые мелко- и среднезернистые полосчатые породы с гранобластовой структурой. Они состоят из плагиоклаза № 30–45 (35–65%), кварца (10–35%), гиперстена (0–15%), диопсида (0–20%), роговой обманки (0–10%), биотита (0–10%), граната (0–5%), калиевого полевого шпата (0–10%). В гранитизированных гнейсах количество калиевого полевого шпата возрастает до 25%. Аксессорные минералы – апатит, циркон, рутил, рудный минерал.

Гранат-биотитовые, биотит-гранатовые гнейсы и их графит-содержащие разности, графит-биотитовые, биотит-графитовые и гиперстен-гранатовые гнейсы являются главными породами сутамской свиты, а также изредка встречаются в худурканской свите и в джанинской серии. Это светло- и коричневато-серые мелко- и среднезернистые полосчатые породы с грано-, лепидо-, тетеро- и порфиробластовой структурами. Состав их не постоянен: плагиоклаз № 25–35 (20–55%), кварц (15–40%), гранат (до 30%), биотит (до 15%), гиперстен (до 15%), графит (до 20%), силиманит (до 3%). В гранитизированных гнейсах отмечается до 30% решетчатого микроклина. В качестве аксессорных минералов присутствуют альбит, циркон, рутил, ортит и рудный минерал.

Магнетитовые кварциты – темно-серые среднезернистые полосчатые породы с гранобластовой структурой. Они состоят из кварца (60–71%), магнетита (25–30%), куммингтонита (до 10%).

Мраморы – белые, кремово-желтые и розовые средне-крупнозернистые массивные породы, состоящие из кальцита (65–75%) и доломита (25–35%). В кальцифирах в количестве 20–50% присутствует форстерит, диопсид, шинель, кварц, флогопит, графит.

Большинство кристаллических сланцев архея являются, по-видимому, глубокометаморфизованными вулканогенными образованиями основного и среднего состава. Об этом свидетельствуют данные о химическом составе аналогичных пород на сопредельных территориях /18, 34/, выдержанность отдельных прослоев и пачек их по простиранию, перестаивание с мраморами, кальцифирали и глиноzemистыми гнейсами. Однако не исключено, что часть кристаллических сланцев могла образоваться и за счет интрузивных пород, типа габбро и диабазов. Для существенно биотитовых и гранатовых гнейсов, по мнению большинства исследователей /12, 18 и др./, исходными породами являлись территенно-осадочные образования. Породы юго-восточной окраины Алданского щита и Чогарской глыбы метаморфизованы в одинаковой степени. По минеральным ассоциациям среди них отмечаются разности, соответствующие роговообманково-гранулитовой и пироксен-гранулитовой субфаунции гранулитовой фации метаморфизма (по Ф.Дж. Тернеру). Региональный метаморфизм в районе сопровождается процессами ультраметаморфизма, приведшими к образованию гетерополосчатых мигматитов и гранитизации гнейсов и кристаллических сланцев. Гранитизация выражается в реакционном замещении плагиоклаза и темноцветных минералов микроклин-перитом и кварцем. В краевых частях Алданского щита и Чогарской глыбы в архейских породах проявлен регressiveный метаморфизм амфиболитовой и эпидот-амфиболитовой фаций. В результате дифтореза пироксенсодержащие кристаллические сланцы и гнейсы превращены в биотит-рогообманковые кристаллические сланцы, биотитовые, роговообманково-биотитовые, биотит-рогообманковые гнейсы, склонные по внешнему виду и составу с одиночными породами становового комплекса, но отличающиеся от них текстурой (чаще стебельчатой, сланцеватой), структурой (здесь бластомилонитовой и глюмеробластовой) и наличием реликтовых минералов гранулитовой фации метаморфизма. Минеральные преобразования в дифторированных породах выражались в замещении пироксенов и бурых роговых обманки бледно-зеленым амфиболом и биотитом, в мусковитизации биотита, в деамортитизации и алббитизации плагиоклаза. В зонах шириной от

0,05 до 2,5 км, приуроченных к Становому и Удзинскому разломам, проявился приразломный диафторез фации зеленых сланцев.

Здесь гнейсы и кристаллические сланцы превращены в кварц-альбит-хлоритовые, эпидот-хлоритовые, кварц-альбит-тремолитовые и другие зеленые сланцы с бластомилонитовой структурой.

Метаморфические породы северной части района находятся в геологическом и структурном единстве с глубокометаморфизованными образованиями Алданского щита, архейский возраст которых принят большинством исследователей (7, 17 и др.) и подтвержден радиологическими методами /4/. Образования Чогарской глыбы (джанинская серия) по степени первичного метаморфизма, сходны с породами Алданского щита. Они магматизированы аляскитовыми гранитами, совершили аналогичными аляскитами Алданского щита и нигде в зоне Становика-Джугчура не встречаются среди более молодых образований. Диафторез пород Чогарской глыбы произошел в условиях изобиальных с прогрессивным метаморфизмом ставового комплекса и, по-видимому, связан с этапом раннепротерозойской складчатости и метаморфизма в зоне Становика-Джугчура. Эти данные позволяют рассматривать породы джанинской серии как архейские. Сопоставимые с джанинской серией образования известны в бассейнах рек Ток и Сивакан и, по устному сообщению Л.П.Карсакова, имеют абсолютный возраст 3005-120 млн. лет. Взаимоотношения джанинской серии с сериями Алданского щита неясны. Но учитывая, что по набору пород, а на смену с востока территории /30/ и по характеру разреза джанинская серия обнаруживает некоторое сходство с джелтулинской, допустимо предположение, что она является аналогом джелтулинской серии в другой структурно-формационной зоне.

ПРОТЕРОЗОИСКАЯ ГРУППА

НИЖНИЙ ПРОТЕРОЗОЙ

В центральной части района распространены образования, прогрессивно метаморфизованные в амфиболитовой фации. Они слагают узкий (от 10 до 20 км) грабен среди архейских пород, простирающийся от западной до восточной границ территории листа. С севера грабен, получивший наименование Манско-Удский, отделен от Алданского щита Становым глубинным разломом и приуроченными к нему третичными раннепротерозойскими и раннемеловыми интрузиями, а с юга до Чогарской глыбы — Удзинским разломом. Метаморфиты амфиболитовой фации района участвуют в сложении единой полосы

нижнепротерозойских образований, широко развитых на смежных с запада и юго-запада территориях /34, 41/. В бассейне р.Ман они расчленены на три свиты, сопоставимые с сиваканской, куманской и лавлинской свитами, выделенными В.В.Шихановым /24/ и В.Ф.Зубковым /9/, в бассейнах рек Джана и Кирэн.

Сиваканская свита (PR_1, u) закартирована на левобережье р.Ман, в бассейнах ее притоков — рек Ванги, Халани и Салги и в виде узкой (3-5 км) полосы прослежена от верховья р.Чогар-Макит до р.Амнускан. Она слагает крылья крупной синклинальной складки, в которую смыты породы Майско-Удского тягача. Сиваканская свита состоит преимущественно из тонкополосчатых биотитовых, двуслюдянных и биотит-ротовообманковых гнейсов, в том или ином количестве содержащих эпидот и гранат.

Представление о строении сиваканской свиты может дать разрез, изученный в почти непрерывных обнажениях р.Ванги, где отсутствуют ее нижние и верхние горизонты:

1. Гнейсы гранат-ротовообманковые 160 м
2. Гнейсы биотитовые и гранат-биотитовые, с прослоями (0,05-1,5 м) гранат-ротовообманково-биотитовых, биотит-ротовообманковых гнейсов и амфиболитов 320 "
3. Амфиболиты с прослоями (0,3-1 м) гранат-биотит-ротовообманковых гнейсов 40 "
4. Гнейсы гранат-биотитовые 30 "
5. Гнейсы гранат-биотит-ротовообманковые, с прослоями (0,7-4 м) гранатовых амфиболитов 150 "
6. Гнейсы гранат-биотитовые, с прослоями (0,2-1,5 м) гранат-биотит-ротовообманковых гнейсов и гранатовых амфиболитов 60 "
7. Гнейсы гранат-биотитовые 100 "
8. Гнейсы гранат-эпидот-двуслюдянные, с прослоями (до 5 м) ротовообманково-биотитовых гнейсов и амфиболитов 410 "
9. Гнейсы биотит-ротовообманковые с прослоями (1-3 м) амфиболитов 140 "

Мощность по разрезу 1410 м. В районе мощность сиваканской свиты достигает 2000 м. Состав ее по простирации сравнительно выдержан. Помимо пород, перечисленных в разрезе, в ней встречаются рапаки прослои (0,7-6 м) кальцифиров и мусковит-диабазовых гнейсов.

Куманская свита (PR_1, k) состоит преимущественно из однородных грубополосчатых средне- и крупнозернистых

гранат- и эпидотсодержащих биотитовых и двуслюдянных гнейсов, заметно отличающихся по зернистости и характеру полосчатости, от одноименных пород других свит нижнего протерозоя. Для нее характерны монолитность и большая мощность отдельных пачек пород, как правило, слабо отличающихся друг от друга. Куманская свита распространена на правобережных рек Эдигу-Чайдах, Май и в бассейнах нижних течений рек Ванги, Халани и Салги. Она слагает крылья синклинальной складки, линейно-вытянутой вдоль оси Майско-Унского грабена. Граница ее с сиваканской свитой четкая и проводится по резкой смене тонкоголосчатьих биотитовых, роговообманково-биотитовых гнейсов и амфиболитов сиваканской свиты грубоголосчательными гранат-эпидот-биотитовыми гнейсами куманской свиты.

Разрез куманской свиты на полную мощность изучен в береговых обнажениях нижнего течения р. Салги (снизу вверх):

1. Гнейсы гранат-эпидот-двуслюдянные и гранат-эпидот-биотитовые	350 м
2. Гнейсы гранат-эпидот-двуслюдянные и гранат-эпидот-биотитовые	320 "
3. Гнейсы гранат-эпидот-биотит-ротовообманковые и гранат-эпидот-биотитовые с прослойями амфиболов (0,1-1 м)	220 "
4. Гнейсы гранат-эпидот-биотитовые и гранат-эпидот-двуслюдянные	510 "
5. Гнейсы гранат-эпидот-двуслюдянные	300 "
6. Гнейсы гранат-эпидот-биотит-ротовообманковые (0,5-1,2 м) амфиболитов и гранат-эпидот-биотит-ротовообманковых гнейсов	200 "

Мощность куманской свиты в данном разрезе 1900 м. Фациальные изменения куманской свиты заключаются в постепенном увеличении в ней количества прослоев ротовообманково-содержащих гнейсов и амфиболитов в направлении с запада (от р. Чогар-Макит) на восток. В верхних горизонтах свиты эпизодически встречаются простой (до 8 м) кальцифир.

Л а в л и с к а я с в и т а ($PR_1 \ell v$) согласно Залегает на Куманской и распространена вдоль широтного отрезка р. Май и на правобережье р. Эдигу-Чайдах, выполненная ядра синклинальных складок. Она состоит преимущественно из тонко- и гетероголосчательных биотит-ротовообманковых, ротовообманково-биотитовых, биотитовых, двуслюдянных гнейсов и их эпидот- и гранатсодержащих разностей, мраморов и кальцифиров. Граница ее с куманской свитой проводится по подошве пачки (110-190 м) тонкоголосчательных эпидот-биотит-ротовообманковых, гранат-биотитовых гнейсов и амфиболитов.

Разрез лавлинской свиты изучен в коренных обнажениях на р. Май близ устья р. Халани. Здесь на грубоголосчательных гранат-эпидот-биотитовых гнейсах куманской свиты согласно Залегают (снизу вверх):

1. Гнейсы эпидот-биотит-ротовообманковые, с прослойми (до 3 м) амфиболитов и гранат-биотитовых гнейсов	190 м
2. Кристаллические сланцы биотит-ротовообманковые	30 "
3. Гнейсы эпидот-биотит-ротовообманковые	30 "
4. Гнейсы эпидот-гранат-двуслюдянные, с прослойми (0,03-0,8 м) эпидот-биотит-ротовообманковых гнейсов и амфиболитов	280 "
5. Гнейсы эпидот-биотит-ротовообманковые и гранат-ротовообманковые	125 "
6. Кристаллические сланцы биотит-ротовообманковые	30 "
7. Гнейсы гранат-эпидот-ротовообманково-биотитовые	150 "
8. Кристаллические сланцы биотит-ротовообманковые, с прослойми (0,2-1,5 м) гранатовых амфиболитов	40 "
9. Амфиболиты гранатовые	50 "
10. Гнейсы эпидот-гранат-двуслюдянные, с прослойми (до 1,5 м) гранатовых амфиболитов и кальцифиров	235 "
II. Гнейсы гранат-ротовообманково-диопсидовые, с прослойми гранат-биотитовых гнейсов (1-2 м) и кальцифиров (0,15-0,4 м)	75 "
12. Кальцифир с прослойми (0,05-0,1 м) гранатовых амфиболитов	20 "
13. Гнейсы гранат-эпидот-ротовообманково-биотитовые	25 "
14. Гнейсы гранат-биотитовые и граубрит-гранат-биотитовые, с прослойми (0,1-0,8 м) кальцифиров и гранатовых амфиболитов	20 "

Мощность свиты в данном разрезе 1300 м, в районе же она оценивается в 1400-1500 м. В составе лавлинской свиты эпизодически встречаются гранат-листвен-биотитовые гнейсы, слагающие простой мощностью до 15 м.

Ниже приведена петрографическая характеристика основных типов нижнепротерозойских пород.

Биотитовые, роговообманково-биотитовые гнейсы и их гранат-, эпидот-, гравит- и листенсодержащие разности сиваканской и ламлинской свиты сходны друг с другом по внешнему виду и составу. Они представляют собой светло- и темно-серые, коричневато-серые мелкозернистые гнейсы, реже лепидотогранобластовой структурами. Гнейсы состоят из плагиоклаза (23-33 (35-60%), кварца (15-30%), биотита (5-20%), зеленой роговой обманки (0-10%), эпидота (0-8%), граната (0-10%), графита (0-3%), листена (0-3%), калиевого полевого шпата (0-35%). Аксессорные минералы представлены сфером, цирконом, апатитом, рутилом, орбитом, пиритом и магнетитом. Из вторичных минералов обычны мусковит, хлорит, альбит. Гранат- и эпидотсодержащие двуслюдянные гнейсы, в отличие от биотитовых гнейсов, содержат 5-7% мусковита, слагающегося как отдельные чешуйки, так и новообразования по биотиту. Гранат-эпидот-биотитовые, гранат-эпидот-двуслюдянные, гранат-эпидот-роговообманково-биотитовые гнейсы куманской свиты отличаются от одноименных пород других свит нижнего протерозоя лишь средне- и крупнозернистым сложением и отсутствием в них четко выраженной полосчатости.

Роговообманковые, биотит-роговообманковые гнейсы и их диопсид-, гранат- и эпидотсодержащие разности, присутствующие во всех свитах нижнего протерозоя, представляют собой серые и темно-серые мелко- и среднезернистые полосчатые породы с пегматитами, гранат- и нематобластовой структурами. Они состоят из плагиоклаза (30-33 (35-70%), кварца (12-35%), зеленой роговой обманки (10-40%), зеленовато-коричневого биотита (0-7%), калиевого полевого шпата (0-1%), эпидота (0-5%), граната (0-8%). Аксессорные минералы – сфен, апатит, циркон, рутил, орбит, магнетит. Вторичные минералы – биотит, бесцветный амфибол, альбит.

В биотит-роговообманковых кристаллических сланцах, в отличие от одноименных гнейсов, содержится не более 5% кварца, а суммарное количество темноцветных минералов составляет 40-60%.

Амфиболиты обычны для сиваканской и ламлинской свит и сравнительно редко встречаются в куманской свите. Это темно-серые и черные мелко- и среднезернистые гнейсвидные породы с нематогранобластовой структурой. Они состоят из зеленой роговой обманки (60-65%), андезина (30-37 (25-30%), эпидота (3-5%), кварца (0-3%), апатита, сферена, рутила, циркона и магнетита (в сумме 1-6%). Иногда отмечается гранат (до 8%) и биотит (до 5%). Вторичные минералы – биотит и хлорит.

Кальцифиры, встречающиеся среди нижнепротерозойских гнейсов, по внешнему облику и составу сходны с архейскими кальцифирами. Это белые, розовые, желтые и светло-зеленые среднекрупнозернистые массивные породы с грано- и порфиробластовой структурами. Они состоят из кальцита (70-90%), диопсида (3-20%), эпидота (4-5%), флогопита (0-10%) и незначительных количеств сферена, граната, скалолита, плагиоклаза, кварца.

Мусковит-листеновые гнейсы – белые среднезернистые сланцы, по-видимому, глубокометаморфизованными осадочными образованиями. Об этом свидетельствуют переслаивание, подчас ритмичное, пород разного состава, выдержанность слоев и отдельных пачек по простирианию, наличие в них прослоев карбонатных пород (кальцифиров) и высокоглинистых гнейсов. Возможно, что какая-то часть амфиболитов, роговообманковых гнейсов и биотит-роговообманковых кристаллических сланцев могла образоваться в результате метаморфизма основных и средних вулканогенных пород. Критические парагенетические ассоциации минералов в нижнепротерозойских породах указывают на метаморфизм их в условиях кинант-мусковит-кварцевой субфации амфиболитовой фации метаморфизма (по Ф.Дж. Тернеру). На левобережье р. Май и в бассейне р. Ванти на нижнепротерозойские гнейсы наложен кремне-калиевый метасоматоз, в результате которого в них образовались многочисленные порфиробласты микролина, очковые порфиробластические мигматиты и кварц-микроклиновые пегматоидные жилы мощностью до 4 м.

Образования, метаморфизованные в амфиболитовой фации, по характеру разреза, составу пород, степени метаморфизма, структурному положению представляют собой единое целое со становым комплексом, прослеженным в район со смежной с запада территории и широко развитым в центральной и западной частях зоны Становика – Джугдукра. Нижнепротерозойский возраст пород станового комплекса принимается вслед за Ю.К.Дзевановским // и В.Н.Мошкиным /17,18/, доказывающими, что складчатая область Становика – Джугдукра, включавшая территорию листа, является раннепротерозийским складчатым обрамлением Алданского щита. В основу этих представлений положены данные о различиях в структурном плане, составе, метаморфизме, ультратемпературном и абсолютном возрасте метаморфических пород Алданского щита и зоны Становика –

Джулькура. Определения абсолютного возраста пород станового комплекса, произведенные в основном в западной части зоны Становика - Джулькура /4/, также подтверждают их нижнепротерозойский возраст (1700-2200 млн. лет). Г.М. Другова, А.Н. Неелов и

другие исследователи /8/, подтверждая выводы Ю.К. Дзевановского и В.Н. Мощкина о структурном положении станового комплекса, отнесают его к верхнему архею. Вместе с тем известны и другие мнения о возрасте станового комплекса. Так, Д.С. Корининский /12/ и С.П. Корининский /13/ считают, что в районе хр. Станового развиты те же архейские породы, что и на Алданском щите, но измененные под влиянием раннепротерозойского магматизма.

ВЕРХНИЙ ПРОТЕРОЗОЙ

Н е м е р и к а н с к а я с в и т а (РР₃, пм). В междууречье Джагармы и Нимняркай захартирована толща диабазов и диабазовых порфиров, сходная с немериканской свитой сопредельных площадей. Она слагает два разобщенных ксенолита в интрузиях меловых гранитоидов и тектонический блок среди архейских кварцевых диоритов. Суммарная площадь всех выходов диабазов не превышает 4 км². Состав свиты в районе простой. В тектоническом блоке на правобережье р. Нимняркай и в ксенолитах среди меловых гранитоидов она состоит из миндалекаменных диабазов. В долине р. Джагармы в горном обнажении протяженностью 800 м наблюдается перемежаемость через 10-250 м диабазов и диабазовых порфиров с мионитизированными их разностями, которые по составу и структуре отличают альбит-эпидот-хлоритовым сланцам. Мощность свиты в районе оценивается в 500 м.

Диабазы представляют собой темно-зеленые и темно-серые, массивные и мицдалекаменные породы с орбитовой и полихрофитовой структурами. Они состоят из плагиоклаза (45-50%), моноклинного пироксена и вторичных минералов: зеленой и бледно-зеленой роговой обманки, хлорита и эпидота, в сумме составляющих 35-40%, карбоната (до 10%) и рудного минерала (до 8%). Диабазовые порфириты отличаются от диабазов присутствием 5-10% вкрашенников плагиоклаза (0,4-2 см). В бассейне р. Немерикан в немериканской свите известны прослои известняков с остатками онколов и катараграфий, характерных, по определению А.Г. Постелова (ЗСГУ), для верхнего рифа и частично юшомско-вендского комплекса /31/. На основании этих данных возраст ее принят как верхнепротерозойский при очевидном угловом несогласии с нижележащими нижнепротерозойскими образованиями.

М Е З О З О Й И С К А Я Г Р У П ПА ВЕРХНИЙ ОТДЕЛ ПРСКОЙ - НИЖНИЙ ОТДЕЛ МЕТОВОЙ СИСТЕМЫ

К д е л о н с к о й с в и т е (J₃K₁d₁) отнесены вулканогенные образования преимущественно среднего состава, с угловым несогласием застекающие в виде небольших (1-50 км²) разобщенных покровов на засыпанной поверхности докембрийских пород на левобережье р. Ман, в верховьях рек Салги и Утанаха, в междууречьях Джагармы и Нимняркай, Нимняркай и Оманджи. Во всех выходах джелонской свиты преобладают андезитовые порфириты. Туфы слагают ее основание и просты (1-15 м) в ней. Мощность джелонской свиты в районе оценивается в 600 м. Фациальные изменения свиты незначительны. Так, в верховье р. Салги среди андезитовых порфиритов и их туфов отмечаются небольшие (до 0,8 км²) выходы спекшихся туфов дацитовых порфиритов и аргиллитовых брекчий. В покрове, расположенному в междууречье Нимняркай и Оманджи, наблюдается постепенное увеличение количества прослоев туфов андезитовых порфиритов в направлении к востоку от р. Нимняркай. В восточной части этого покрова встречаются дацитовые порфириты и их туфы.

Андрезитовые порфириты представляют собой серые, зеленовато-серые, темно-коричневые эфировые и порфировые породы с гиалопилитовой и интересертальной структурой основной массы, состоящей из микролитов андезина, из хлорита, рудного минерала и стекла. В порфировых разностях вкрапленники размером 0,2-5 мм, составляющие 15-40% объема породы, представлены андезином (30-35, реже зеленой роговой обманкой). Аксессорные минералы - магнетит, апатит и циркон; вторичные - эпидот, серцицит, хлорит и карбонат. Дацитовые порфириты отличаются от андрезитовых порфиритов присутствием вкрашенников кварца.

Туфы андрезитовых порфиритов - серые и пестроокрашенные массивные породы. Среди них выделяются псаммитовые, псаммитопсефитовые, литокристаллокластические и литокластические разновидности. Они состоят на 50-80% из угловатых обломков плагиоклаза, моноклинного пироксена, кварца, калиевого полевого шата, андрезитовых порфиритов и докембрийских кристаллических пород размером от 0,1 мм до 20 см, cementированных алевропелитовым пирокластическим материалом. Туфы дацитовых порфиритов отличаются от них лишь цементом, состоящим из мельчайших частиц серого

вулканического стекла. В стеклянных турбах дацитовых порфиров частицы стекла оплавлены.

Л.И.Красным в турбах джелонской свиты хр.Прибрежного собран комплекс фторита, определяющий возраст свиты как верхненорская – нижнемеловой /14/. Однако нельзя исключать возможность и более древнего возраста для джелонской свиты. Так, по данным Е.Б.Бельтевса и Е.Л.Лебедева, в стратотипическом разрезе ее присутствует только верхненорская фторита /1/.

КАЙНОЗОИСКАЯ ГРУППА

ЧЕТВЕРТИЧНАЯ СИСТЕМА

Нижнечетвертичные отложения (Q₁?)

Нижнечетвертичные (?) аллювиальные отложения слагают высокие (80-110 м) террасы в долине рек Мая, Чолара и Оманджи. Они изучены с помощью шурfov глубиной до 2,5 м, проиденных на правобережье р.Мая напротив устья р.Салги. Здесь сверху вниз вскрыты суглиники (0,2 м), мелкозернистые полимиктовые пески (0,7 м) и галечники (1,0 м). Мощность нижнечетвертичного аллювия в районе не превышает 2,5 м. В тяжелой фракции песков отмечаются ильменит, рутил, сфеен, монацит, циркон, ортит, шеелит, молибденит, золото. Нижнечетвертичный возраст отложений террас высотой 80-110 м принят условно на основании сопоставления с аналогичными образованиями сопредельных с юга и севера террито-рий, где, по данным диатомового и спорово-пыльцевого анализа, их возраст определен как нижнечетвертичный /2,28/.

Среднечетвертичные отложения (Q₂?)

Среднечетвертичные (?) отложения представлены аллювием террас высотой 25-30 м и ледниковые образованиями. Аллювиальные отложения террас высотой 25-30 м закартированы в долинах рек Чолгар, Оманджа и Мая. Верхняя часть разреза их изучена в шурфах глубиной до 3 м, проиденных на правобережье р.Чолгар, где вскрыты (сверху вниз) суглиники (1,2 м), среднезернистые полимиктовые пески (0,3 м) и галечники (1,5 м). Мощность аллювия террас высотой 25-30 м в районе достигает 5 м. В тяжелой фракции песков и галечников присутствуют ильменит, монацит, циркон, рутил и сфеен. Среднечетвертичный возраст отложений 25-30-метровых террас района условно принят на основании того, что на сопредельной с

территории в отложениях аналогичных террас установлен среднечетвертичный комплекс спор и пыльцы /28/.

Среднечетвертичные (?) ледниковые отложения сохранились на левобережье р.Агаты, в бассейнах рек Амускан, Шаваликий, Ним-Няркай на уровне абсолютных высот 600-1000 м. Они представлены валунами, галечниками, щебнем, грубозернистыми песками, суглинками, мощность которых достигает 30 м. На территории листа в рассматриваемые отложения вложены поздне-верхнечетвертичная морена и ранне-верхнечетвертичная терраса. На сопредельной с северо-востока площади /25/ в аналогичных образований обнаружен среднечетвертичный комплекс спор и пыльцы. Учитывая эти данные, возраст описанных выше ледниковых отложений условно принимается как среднечетвертичный.

Верхнечетвертичные отложения (Q₃?)

К верхнечетвертичным отложениям отнесен аллювий 12-15-метровой террасы, широко развитой в долинах большинства рек района. Он представлен галечниками, валунами, гравием и разнозернистыми песками, мощность которых достигает в районе 8 м. В тяжелой фракции этих отложений присутствуют золото, ильменит, ортит, циркон, сфеен, рутил, анатаз. В отложениях 12-15-метровых террас обнаружен комплекс спор и пыльцы, отражающий бересково-хвойный тип растительности. Преобладающей группой является пыльца хвойных (ели и сосны). Пыльца не проявляется в настоящее время в Удском районе *Betula schmidtii*, *B.egregia*, *B. dahurica*. *Ulmus sp.*, согласно заключению И.Б.Мамонтовой, позволяет отнести время формирования этих отложений к периоду потепления верхнечетвертичной эпохи.

К верхнечетвертичным отложениям (Q₄?) отнесен также вложивший 5-7-метровых террас и ландшафные отложения.

Альвийные отложения распространены в долинах всех рек района. Они представлены суглиниками, песками, гравием, галечниками валунами. Максимальная мощность их достигает 12 м /36/. В тяжелой фракции песков и галечников присутствует золото, молибденит, ильменит, сфеен, рутил. В спорово-пыльцевом комплексе из аллювия 5-7-метровых террас рек Чолгар, Нимняркай и Мая преобладает пыльца бересково-хвойного типа с небольшим участием пыльцы ольхи, ольховника и ивы. По заключению палеонтолога И.Б.Мамонтовой, подобные формы могли пронизывать в условиях умеренно-холодного климата верхнечетвертичной эпохи (Q₂).

Л е д н и к о в ы е о т л о ж е н и я приурочены к се-

верным и южным склонам Майского и Атагского хребтов. Они сфор-
мированы в пределах абсолютных высот 900–1300 м и слагают днища
каров и участки троговых долин. Эти отложения представлены в
основном валунно-глыбовым материалом и щебнем, состав которых

соответствует породам стенок каров. Размер валунов и глыб

варьирует от 0,1 до 5 м в поперечнике. На участках троговых долин валуны более овощаны и среди валунников присутствуют прослои (10–12 м) галечников и суглинков. В тяжелой фракции галечников и суглинков отмечаются ильменит, циркон, рутил, ортит и сфен. На плосадах листа в рассматриваемые отложения вложена высокая пойма долин рек. На сопредельных с севера и юга территориях /2,28/ в аналогичных образованиях установлен поздне-верхнечетвертичный комплекс пыльцы. На основании этих данных возраст расматриваемых отложений принят как поздне-верхнечетвертичный.

С о в р е м е н н ы е о т л о ж е н и я (Q_{1V})

Современные отложения представлены пойменным, косовым и русловым аллювием рек и ручьев, элювиально-делювиальными и про-лювиальными образованиями. Высокая пойма (высотой 3–4 м) сложена разнозернистыми полимиттовыми песками с редкой галькой и валу-нами, которые подстилаются валунниками и галечниками. В местах старичных понижений встречаются торфяники. Мощность этих отложений варьирует от 2 до 3 м. В тяжелой фракции песков высокой поймы отмечаются циркон, сфеен, рутил, ильменит, монацит и золо-лучино-галечным материалом и грубым песком. Состав обломочного материала полностью соответствует составу пород, развитых в бассейнах рек. Суммарная мощность пойменного аллювия колеблется в пределах 3,5–5 м /36/. Элювиально-делювиальные образования развиты в районе повсеместно. На водоразделах распространены крупноглыбовые россыпи. Слояны покрыты пылью незакрепленных осипей. У подножий склонов преобладают суглинки и супеси с глы-бами и обломками пологих коренных пород. Мощность состав-ляет 1,5–3 м. Пролювиальные образования слагают куски выноса в устьях небольших водотоков и сухих растеклов. Они представле-ны в разной степени окатанными глыбами, щебнем, супесями и су-глинками, реже галечниками и валунниками. Мощность их дости-гает 15 м.

Интрузивные образования занимают более половины гигиади-листа. Среди них выделяются архейские, раннетреторозийские, позднепалеозойские (?), ранне- и позднемеловые интрузии и мело-вые дайки.

АРХЕЙСКИЕ ИНТРУЗИИ

Архейские интрузии представлены амфиболизированными габро-идами; анортозитами, габбро-анортозитами; гранитами гиперсте-новыми, гранодиоритами, кварцевыми диоритами; гранитами аляс-китовыми; дайками габбро и габбро-диабазов.

А м ф и б о л и з и р о в а н и е г а б б р о , г а б -
б р о , г а б б р о – н о р и т и (~ 40) слагают в бассейне
р. Атаги юго-западную краевую часть (92 км²) Кун-Маньенского
массива, а на юге района, в бассейнах рек Джагармы, Нимирякай,
Сехтага, Наму, несколько останцов кровли (3–13 км²) Сехтагско-
го анортозитового массива среди позднепалеозойских (?) и ран-
немеловых интрузий. В выходах таббороиды замещают согласно с
архейскими метаморфическими породами, образуя, по-видимому,
пластообразные залежи. Контакты всегда четкие, без признаков
эндо- и экзоконтактовых изменений. Все поры таббороидов имеют
однородное строение. Они сложены амфиболизированными габбро,
габбро и габбро-норитами, связанными взаимопереводами друг с
другом.

Амфиболизированное габбро и габбро представляют собой тем-
но-серые и зеленовато-серые гнейсовидные, полосчатые, реже мас-
сивные породы. Структура их бластогаббротовая, гранобластовая,
катахлазическая. Габбро состоят из плагиоклаза № 46–52 (50–
65%), бурых роговой обманки (30–40%), моноклинного пироксена
(5%), титаномагнетита (5%). В составе габбро-норитов – плагио-
клас (45–70%), гиперстен (8–25%), моноклинный пироксен (6–15%),
титаномагнетит (5–15%), алатит (0–3%). В амфиболизированных
габбро пироксены и бурые роговые обманки почти нацело замещены
бледно- и синевато-зеленым амфиболом, а плагиоклаз соответствует андезину № 30–40. Амфиболизация, по-видимому, обусловлена в основном региональным дифторазом, связанным с нижнепротеро-
зойской складчатостью и метаморфизмом в зоне Становика – Джу-
лара. Аксессорные минералы в габброках представлены сфеном и

рутитом. Химический состав рассматриваемых пород приведен в табл. I (обр. 1775, ЗЛ9, 4533).

С габброидами Кун-Маньенского массива связаны дациты и пироксены и нито и перидотиты (σAR). Они слагают линзовидные тела, согласно залегающие среди архейских метаморфических пород и в габброидах Кун-Маньенского массива. Мощность их 5–15 м, протяженность – более 40 м. Контакты с вымешающими породами четкие. Пироксениты и перидотиты – черные и темно-коричневые среднезернистые гнейсовые породы с пани-диоморфозернистой и петельчатой структурами. Пироксениты состоят из гиперстена (35%), моноклинного пироксена (30%), роговой обманки (30%) и биотита (5%); в перидотитах присутствует около 20% оливина, 30% гиперстена, 10% моноклинного пироксена, 5% роговой обманки, 30% вторичного серпентина и 5% талька.

На территории листа и в сопредельных районах /З0, 34/ амфиболизированные габброиды залегают исключительно среди архейских метаморфических пород и совместно с ними дистиллированы и метаморфизованы. Примеры прорывания их архейскими аляскитовыми гранитами можно видеть во многих обнажениях габброидов в бассейнах рек Атаги, Сехтага и Нимиркай. Кроме того, в бассейне рек Нимиркай и Аналкана они подвержены метасоматической грахитизации, предшествовавшей становлению аляскитовых гранитов. Взаимодействие альбогранитов с габбро свидетельствуют о более древнем возрасте последних. Таким образом, приведенные данные позволяют рассматривать метаморфизованные габброиды как архейские. Пироксениты и перидотиты, будучи тесно связанными с габброидами пространственно и, по-видимому, генетически, отнесены к архейским основаниям сопоставления их с аналогичными ультрабазитами сопредельной с северо-запада территории, где они прорваны архейскими гиперстеновыми гранитами /З/.

А н о р т о з и т ы и г а б б о - а н о р т о з и т ы (σAR) слагают в бассейнах рек Джагары, Нимиркай и Сехтага Сехтагский массив. Изученная часть (760 км²) массива целиком расположена в пределах Чогарской глыбы. С севера он ограничен субширотным разломом; на юге и юго-западе его граница замечательна более молодыми интрузиями; на западе массив на небольшом протяжении имеет четкий интрузивный контакт с архейскими гнейсами и кристаллическими сланцами. Взаимоотношения альбогранитов с вымешающими породами сложные. На правобережье р. Сехтаг, в бассейне р. Нимиркай граница между альбогранитами и габбро расплывчата. Здесь на удалении 200–300 м от контактов в габброидах отмечаются многочисленные порфиробласти (2–6 см) плагиоклаза,

количества которых в сторону альбогранитов заметно возрастает и габбро постепенно превращается в птилистые породы существенно плагиоклазового состава. Вместе с тем во многих местах – в бассейнах рек Сехтаг, Чогар, Джагарма наблюдаются и резкие контакты альбогранитов с архейскими кристаллическими сланцами и габбро. Сам Сехтагский массив неоднороден. В его составе выделяются альбограниты и габбро-альбограниты, связанные друг с другом постепенными взаимопереводами. Габбро-альбограниты распространены в краевых частях массива и слагают полы (5–65 км²) в бассейнах рек Сехтаг, Гугла, Шавликий, Нимиркай и др. Поля преимущественного развития альбогранитов тоже весьма неоднородны, что обусловлено как неравномерной окраской и зернистостью пород, так и распределением темноцветных минералов (от 2 до 10%). Очень часто наблюдается грубая (через 50–400 м) и более тонкая (через 0,2–10 м) перемежаемость стволоподобных полос альбогранитов и габбро-альбогранитов. Примеры прорывания их "слоях" габбро-альбогранитов постепенно нарастают к лежачему боку. "Слои" наблюдают грубая (через 50–400 м) и более тонкая (через 0,2–10 м) перемежаемость стволоподобных полос альбогранитов и габбро-альбогранитов, причем в "слоях" габбро-альбогранитов количество темноцветных минералов постепенно нарастает к лежачему боку. "Слои" по простиранью не выдерживаются. Кроме того, в массиве встречаются жилоподобные тела (1,5–24 м) рудных пироксенитов, имеющих как резкие, так и расплывчатые границы с альбогранитами. Полосчатость и линейные текстуры, обусловленные стволоподобным чередованием альбогранитов и габбро-альбогранитов, вытянутость в одном направлении шлировидных обособлений темноцветных минералов, имеют выдержанное северо-восточное, субширотное простирание, которое лишь в бассейне р. Сехтаг изменяется на юго-восточное и близмеридиональное. Судя по преимущественному падению (40–80°) полосчатости к северу, Сехтагский массив представляет собой, по-видимому, круто погружающееся на север плитообразное тело.

Вдоль южной границы площади массива представляются фрагменты (13 км²) Чогарского альбогранитового массива, развитого в основном на сменной с юга территории.

Альбограниты Сехтагского и Чогарского массивов весьма разнообразны по составу и структурно-текстурным признакам. Среди них выделяются анхидриниты и обогащенные темноцветными минералами разности, а в зависимости от степени вторичных изменений плагиоклаза – андезиниты и лабрадориты. Последние показаны на геологической карте как альбограниты с иризирующими плагиоклазами. Все эти разновидности связаны между собой постепенно переходами. Они представляют собой средне- и крупнозернистые, часто неравномернозернистые, порфировидные, массивные, гнейсовые и птилистые породы. Структура альбогранитов пани-диоморфозернистая и блестопаниклиоморфозернистая. Они состоят

Химический состав архейских раннепротеро-

зойских и позднепалеозойских (?) интрузивных пород^х

Таблица I

№ пробы	Порода	Место образца	Содержание												
			SiO ₂	TiO ₂	Al ₂ O ₃	Fe ₂ O ₃	CaO	MgO	Na ₂ O	K ₂ O	P ₂ O ₅	SO ₃	CO ₂	H ₂ O ⁺	Сургама
4533	Амфиболизированное габбро	р.Джаларма	50,84	1,90	17,73	4,05									
3119	То же														
1775	"	р.Сехтаг	54,85	2,23	15,74	4,19	5,89	0,18	1,70	6,56	3,44	1,70	0,89	0,05	0,06
4276	Амортозит	р.Атага	59,37	0,66	17,64	2,06	4,30	0,10	3,47	4,67	4,78	1,10	0,19	0,02	0,38
4269	То же	р.Джаларма	55,84	0,17	23,97	1,57	1,74	0,05	1,76	9,06	4,33	1,04	0,03	-	0,14
4197	"	"	56,57	0,06	23,44	0,38	0,83	0,01	0,32	8,95	5,50	1,14	0,03	0,01	0,19
2547 ^a	"		55,78	0,16	25,04	1,00	0,45	0,03	0,41	8,27	6,10	1,31	0,04	0,02	0,05
1192	"		54,56	0,13	24,90	1,40	0,53	0,06	0,35	10,46	5,00	1,23	0,04	0,03	0,13
4521	Габбро-амортозит	р.Микитик	55,50	0,26	23,89	0,69	2,32	0,05	1,62	7,94	4,79	1,01	0,11	-	0,25
66	Гиперстеновый гранит	р.Джагарма	46,42	3,12	14,01	4,95	9,73	0,21	4,63	10,74	2,82	0,63	1,39	0,16	0,03
3249	Гранит	р.Мая	71,25	0,29	13,29	1,81	2,07	0,09	0,80	2,25	4,26	2,78	0,07	-	0,27
336	"	р.Анайкан	64,94	1,15	14,52	2,44	4,11	0,14	0,77	3,75	3,15	3,59	0,02	0,02	0,45
264 ^a	Альбигитовый гранит	Басеин р.Бол. Чайдах	69,77	0,23	15,68	0,91	1,26	0,11	1,22	3,71	4,63	1,00	0,07	-	0,46
152 ^a	Диорит	р.Утанах	73,79	0,01	13,53	0,59	0,77	0,07	0,25	0,63	3,10	5,96	0,05	0,01	0,25
879	Инвертированный диорит	р.Эллагу-Чайдах	54,09	1,18	18,25	2,26	4,69	0,14	3,52	8,10	4,70	1,04	0,29	0,03	0,12
3825	Гранодиорит	р.Амчускан	55,98	0,91	18,16	1,96	0,32	15,15	1,36	4,37	0,16	3,80	7,34	4,90	1,37
866	Плагиогранит	р.Банга	70,00	0,14	16,30	0,36	2,05	0,10	1,16	4,06	4,15	2,26	0,12	0,01	0,06
4070	То же	р.Чогар	73,05	0,13	14,94	0,56	1,43	0,02	1,00	2,10	6,76	0,62	0,06	0,02	0,46
175	Гранит	р.Чогар-Макит	72,89	0,05	15,08	0,21	1,15	0,08	0,36	1,86	3,89	3,15	0,03	0,02	0,12
2211	"	р.Чогар	71,83	0,21	14,38	0,85	0,51	0,03	0,27	1,58	5,18	3,64	0,03	-	0,14
3550	"	р.Майский	69,44	0,22	16,71	0,85	1,66	0,10	0,48	1,76	3,62	4,39	0,08	0,01	0,27
4720	"	р.Мал.Оманджа	69,61	0,26	16,42	0,45	1,37	0,04	0,66	2,14	5,91	2,85	0,07	0,01	0,26

х/ Анализы выполнены в химической лаборатории ДВТУ.

Числовые характеристики

по А.Н.Заварыкому

№ пробы	a	c	b	s	a'	c'	f'	m'	n	t	φ	a:c	q
4533	8,8	8,2	19,8	63,2	-	9,2	54,6	36,2	88,1	2,7	18,6	1,1	0,6
3119	10,5	5,8	16,5	67,2	-	15,6	65,2	19,2	75,5	3,0	22,7	1,8	7,6
1775	12,4	5,8	12,2	69,0	1,1	-	49,7	49,2	86,8	0,8	14,7	2,1	9,0
4276	12,0	11,5	7,1	69,4	-	7,6	46,7	45,7	86,4	0,2	20,6	1,0	3,3
4269	15,2	11,2	2,7	71,0	-	30,8	46,7	22,5	88,0	0,1	13,5	1,4	0,3
4197	16,9	10,0	3,3	69,9	-	32,5	44,1	23,4	87,6	0,2	28,8	1,7	-4,1
2547 ^a	14,3	11,4	5,4	69,0	-	51,5	36,2	12,3	85,6	0,2	24,8	1,3	-1,8
1192	13,8	10,6	6,0	70,2	8,0	-	46,0	46,0	85,0	0,4	9,0	1,2	4,6
4521	7,3	6,0	29,6	57,1	-	25,2	47,5	27,3	87,2	4,8	14,7	1,2	-6,4
66	13,1	2,3	5,3	79,3	-	11,1	64,2	24,7	70,7	0,4	27,1	5,7	30,1
3249	12,3	3,7	8,4	75,6	-	10,9	73,4	15,6	57,1	1,3	25,0	3,3	22,9
336	11,7	4,5	4,5	79,3	6,2	-	47,7	46,1	87,2	0,3	18,4	2,6	30,7
264 ^a	15,0	0,8	2,7	81,5	35,0	-	50,0	15,0	41,1	-	20,0	18,8	32,2
152 ^a	12,4	6,4	16,6	64,6	-	22,6	40,4	37,0	86,9	1,6	11,9	1,9	-2,0
879	13,0	5,9	15,8	65,4	-	20,3	38,4	41,3	84,5	1,2	10,8	2,2	-1,2
3825	12,4	3,9	6,1	77,6	-	16,3	51,9	31,8	73,6	0,4	18,8	3,2	26,5
866	15,4	2,5	4,2	77,9	21,6	-	39,1	39,3	94,3	0,2	7,1	6,2	22,5
1070	12,7	2,2	4,5	80,6	51,0	-	35,8	13,2	65,2	0,1	10,4	5,8	33,6
175	16,2	1,26	1,15	80,7	11,5	-	54,0	34,5	68,5	0,4	11,5	12,1	28,4
2211	14,0	2,1	3,8	80,1	16,6	-	62,3	21,1	55,6	0,2	18,9	6,7	30,1
2550	17,2	2,3	2,7	77,8	5,8	-	63,5	30,7	75,2	0,2	26,9	7,4	18,9
4720	16,8	2,4	3,0	77,8	-	6,0	57,0	37,0	75,9	0,3	12,7	7,1	19,6

из плагиоклаза № 43-65 (80-98%), гиперстена (0-7%), моноклинного пироксена (0-10%), рудных минералов (1-7%) и апатита (1-4%). Габбро-анортозиты отличаются от анортозитов более темной окраской и кучным расположением ромбического и моноклинного пирокснов и титаномагнетита, в сумме составляющих 20-40%. Вторичные изменения в анортозитах и габбро-анортозитах, выражавшиеся в грануляции, раскислении и эпидотизации плагиоклазов, в амфиболизации пироксенов, проявились повсеместно. По своему характеру они сходны с изменениями в габбро, обусловленными дифференциацией раннепротерозойской складчатости и метаморфизма в зоне Становика - Джугдхура. Химический состав анортозитов и габбро-анортозитов Сехтагского массива приведен в табл. I (обр. II.92, 2547а, 4197, 4269, 4276, 4521). С анортозитами в районе связана проявления титаномагнетитовых руд, представленных рудами пирокситаномагнетита (5-25%), пирита (0-5%), апатита (0-8%); в количествах до 3% отмечаются гематит, лимонит, пирротин, халькопирит, лейкоксен, рутил и шпинель.

Анортозиты Сехтагского массива прорывают архейские метаморфические породы Чогарской глыбы и сами прорваны архейскими гранитами. Так, в бассейне руч. Чинтакинца вдоль интрузивного контакта массива с архейскими кристаллическими сланцами альскитовые граниты, насыщающие их, проникают и в анортозиты в виде жил мощностью 7-16 см. Границы жил расплывчатые за счет насыщения анортозитов кварцем и превращения плагиоклаза в ленточные антилептиты. Аналогичные взаимоотношения между альскитовыми гранитами и Рек Сехтаг и Мал. Бартак и в других местах. На смену с востока анортозитами наблюдалась в коренных обнажениях на водоразделе Территории доказывается более древний возраст анортозитов по отношению к метасоматическим гранитоидам, образовавшимся ранее альскитовых гранитов /30/. На основании этих данных возраст анортозитов района принимается архейским.

На генезис анортозитов восточной части зоны Становика - Джугдхура имеются две точки зрения. Одни исследователи считают их магматическими образованиями /15/, в то время как другие отстаивают гипотезу метасоматического происхождения анортозитов /19/. В изученной части Сехтагского массива многие особенности его состава, строения и взаимоотношений с вмещающими породами могут быть удовлетворительно объяснены с позиций обеих гипотез. Так, наличие в массиве краевых зон габбро-анортозитов, обогащенных темноцветными минералами, четкие контакты анор-

тозитов с метаморфическими породами архея, отсутствие в последних признаков метасоматической анортозитизации, а также наблюдаемые случаи обогашения темноцветными минералами лежачих борозд слоеподобных полос габбро-анортозитов более характерны для интрузивных образований. С другой стороны, неравномерно- и гигантозернистое сложение анортозитов, наличие зон метасоматической плагиоклазации в архейских габброидах на контакте с анортозитами могут рассматриваться как признаки метасоматической природы анортозитов. По-видимому, в формировании Сехтагского массива значительную роль играли как процессы кристаллизации магматического расплава, так и процессы метасоматического замещения.

Граниты гиперстеновые (γ₁AR), граниты биотит-рогообманковые, граниты диориты и кварцевые диориты (γ₁AR) закартированы среди архейских пород южной окраины Алданского щита и в пределах Чогарской глыбы. Гиперстеновые граниты развиты исключительно в северо-западной части района, где они слагают в метаморфических породах архея пластовые тела мощностью от 1,5 до 120 м, а также жилы в гетеропластичных мигматитах и реже скомплексные массивы (до 200 км²). Массивы содержат мигматицеские скиапиты гнейсов и кристаллических сланцев, окруженные зонами (до 0,8 км) мигматитов. Центральные части массивов и крупных пластовых тел сложены лейкократовыми гиперстеновыми гранитами, а краевые - биотит-, пироксен- и рогообманково-содержащими разностями. На юге района установлены разобщенные выходы (от 9 до 63 км²) гранитоидов, образовавшихся в результате кремне-калиевого метасоматоза, по-видимому, в основном по архейским габброидам. Границы их с габбро расплывчатые, с анортозитами - резкие. Во всех выходах метасоматических гранитоидов преобладают кварцевые диориты и гранодиориты, среди которых местами встречаются небольшие поля гранитов.

Гиперстеновые граниты представляют собой мелко- и среднезернистые серые и зеленовато-серые гнейсовидные породы с гетерогранобластовой структурой. Они состоят из плагиоклаза № 25-30 (25-30%), речетчатого микроклина (25-35%), кварца (30-35%), гиперстена (3-8%). Иногда в них присутствуют в незначительных количествах биотит, моноклинный пироксен и роговая обманка. Аксессории представлены магнетитом, апатитом, цирконом, ортитом, рутилом и сфеном. Вторичные минералы - хлорит, мусковит, эпидот.

Метасоматические гранитоиды более разнообразны по составу и текстурно-структурным признакам. Это пятнистые, гнейсовые, реже массивные, неравномернозернистые, серые, зеленовато-серые породы с гнейсо-, порфирогранобластовой, коррозионной и ката-клинической структурами. Граниты состоят из микроклина (30–55%), плагиоклаза № 20–30 (10–30%), кварца (25–35%), амфиболов (3–6%), биотита (2–6%), магнетита (до 5%). Гранодиориты, в отличие от гранитов, содержат до 15–20% амфиболов и биотита, количество микроклина в них составляет 20–25%. Состав кварцевых диоритов следующий: плагиоклаз (45–50%), микроклин (10–15%), темноцветные минералы – ромбический и моноклинный пироксены, амфиболы, биотит (17–25%), магнетит (5–7%). Аксессории представлены апатитом, сфеном, цирконом, орбитом и монацитом. Коррозионные и порфиробластические структуры, посеместно прогревенные процессы замещения плагиоклазов и темноцветных минералов микроклином и кварцем свидетельствуют об образовании рассмотриваемых гранитоидов в результате кремне-калиевого метасоматоза. По габбро, в которых часто устанавливается начальная стадия метасоматоза, выражаются в возникновении крутых выделений кварца и микроклина. Химический состав рассматриваемых гранитоидов приведен в табл. I (обр. 66, 3249).

Большинство исследователей Алданского щита связывает образование гиперстеновых гранитов с процессами ультратрансформизма во время главного этапа архейской складчатости /3, 19, 21/. Судя по наблюдаемым в бассейне р. Утанах случаем пересечений гиперстеновых гранитов жилами архейских аляскитовых гранитов, первые следует считать наиболее ранними ультратрансформическими образованиями района. Такие же взаимоотношения между аляскитовыми и метасоматическими гранитоидами установлены в верховых руч. Ник. Элкан. Таким образом, видно, что и метасоматические гранитоиды района сформировались ранее аляскитовых гранитов, что позволяет рассматривать их и гиперстеновые граниты южной части Алданского щита как образования единой гранитизационной серии палингено-метасоматического происхождения.

Граниты альбакитовые, биотитовые и роговообманковосодержащими лейкократовыми гранитами.

Аляскитовые граниты представляют собой белые и розовые средне- и крупнозернистые гнейсовые породы с грано-, гнейро- и порфиробластовой, реже коррозионной структурами. Они состоят из микроклин-микролерита (35–60%), плагиоклаза № 26 (5–27%), кварца (25–40%). В биотитовых и роговообманково-биотитовых лейкократовых гранитах присутствует биотит до 3%, роговая обманка – до 2%. Аксессорные минералы – магнетит, пирит, циркон, апатит, сфен, орбит, фергусонит, монацит. Вторичные минералы – эпидот, хлорит, мусковит, серпентин. Химический состав аляскитовых и биотитовых гранитов приведен в табл. I (обр. 264^a, 336).

С аляскитовыми гранитами связаны жилы (0,2–1,5 м) пегматитов, отличающихся от гранитов лишь более крупнозернистым сложением и пегматитовой структурой. К пегматитам в районе приурочены проявления редких земель.

Аляскитовые граниты по формам залегания и взаимоотношениям с вмещающими их гнейсами и кристаллическими сланцами могут рассматриваться как палингено-метасоматические образования главного этапа архейской складчатости и ультратрансформизма. По отношению к гиперстеновым гранитам они являются более молодыми образованиями, что подтверждается пересечением гиперстеновых гранитов в бассейне р. Утанах жилой аляскитовых гранитов.

Дайки габброродиабазов и габбро (рт. АР?) широко распространены в бассейне Чогарской глыбы и в юго-восточной краевой части Алданского щита. Они залегают искривительно в архейских кристаллических образованиях. Большинство дайк сконцентрировано в полосе шириной 15 км, протянувшейся в субширотном направлении от р. Чогар до водораздела рек Сехтар и Мал. Бартак. Дайки габброродиабазов и габбро представляют собой птикообразные тела мощностью 0,1–15 м и протяженностью до 500 м с ровными режими гранитами. Они залегают преимущественно согласно с архейскими метаморфическими породами и полосчатостью анортозитов. Подавляющая часть дайк имеет близкотное и северо-восточное простирание, хотя встречаются дайки и северо-западного простирания. Они наклонены (40–80°) к северу и северо-западу.

Габбро-диабазы представляют собой темно-серые мелко- и среднезернистые массивные, реже гнейсовидные породы с бластофи- товой структурой. Они состоят из плагиоклаза № 40-56 (45-55%), моноклинного, реже ромбического пироксена (20-50%), магнетита, карбоната (в сумме 10-30%). Аксессории представлены апатитом, сференом и цирконом. Габбро отличаются от габбро-диабазов лишь бластогаббровой структурой. В дайковых породах основного соста- ва, развитых в Чотарской глыбе, широко проплещены соскюритиза- ция плагиоклазов и замещение пироксенов синевато-зеленым амфи- болом, биотитом, хлоритом и эпидотом. По своему характеру эти изменения идентичны вторичным преобразованиям в архейских ме- таморфических породах, габброидах и анортозитах.

Учитывая тесную пространственную связь даек основного соста- гава исключительно с архейскими образованиями района, их возраст условно принят архейским. Внедрение даек габбро-диабазов и габ- бро произошло, по-видимому, на заключительных стадиях архейсто- го тектоно-магматического цикла. Возможно, что часть даек яв- ляется корнями верхнетретерозойских (?) покровных диабазов. Обращает на себя внимание наличие наиболее плотных полей даек Габбро-диабазов и габро в Сехтагском анортозитовом массиве. Не исключено, что между даеками основного состава и становле- нием Сехтагского массива существует генетическая связь.

РАННЕПРОТЕРОЗОЙСКИЕ ИНТРУЗИИ

Среди раннетретерозойских интрузий в районе в порядке их становления выделяются: кварцевые диориты и диориты биотит- роговообманковые гнейсовидные; гранодиориты роговообманково- биотитовые гнейсовидные; граниты и плагиограниты биотитовые, двуслюдянные гнейсовидные, пегматиты; граниты биотитовые.

Кварцевые диориты и диориты.

Гнейсы и диориты (обр. PR₁) слагают несколько субширотно- вытянутых выходов площадью от 0,35 до 13 км², расположенных преимущественно среди дифторитированных архейских метамор- фических пород Чотарской глыбы близ зоны Ульянского разлома в верховьях рек Чотар, Чотар-Макит, Амнускан. Тела гранодиоритов вытянуты согласно с простиранием сланцеватости в дифторитах и имеют четкие согласные контакты с ними. Все они сложены одно- образными по внешнему виду и составу гранодиоритами. Это серые гнейсовидные среднезернистые породы, структура их гипидоморфно- зернистая и бластогипидоморфно-зернистая. В составе гранодиори- тов присутствуют: плагиоклаз № 27-39 (45-55%), кварц (20-25%), речетчатый миоклин (10-20%), биотит (7-12%), роговая обманка (2-3%) и вторичные минералы - эпидот (5-10%), мусковит (3-5%). Аксессорные минералы представлены магнетитом, сференом, апатитом и цирконом. Химический состав гранодиоритов приведен в табл. I (обр. 3825).

Кварцевые диориты представляют собой темно-серые средне- зернистые гнейсовидные породы с гранобластовой, реже бластоги- пиридоморфно-зернистой структурами. Они состоят из плагиоклаза № 30-38 (46-70%), роговой обманки (10-20%), биотита (5-10%), кварца (8-18%), решетчатого миоклина (0-15%). Аксессорные минералы представлены магнетитом, сференом, апатитом, ортитом, рутилом. Вторичные минералы - эпидот, хлорит, серицит. В дио- ритах количество кварца не превышает 5%, а содержание темно- цветных минералов достигает 3%. Кварцевые диориты бассейна р. Оманджа отличаются от вышеописанных пород структурой (здесь преимущественно гипидоморфно-зернистая), присутствием в них шлировидных обособлений мелкозернистых кварцевых диоритов. В остальном они сходны с кварцевыми диоритами бассейна р. Май. Химический состав рассматриваемых диоритов и кварцевых диори- тов приведен в табл. I (обр. 152а, 879). Проявленный полезных ис- копаемых, связанных с ними, на территории листа неизвестно.

Раннетретерозойский возраст гнейсовидных диоритов и квар- цевых диоритов принят на основании того, что они, за исключением сопре- деленной с запада территории аналогичные кварцевые диориты про- ваны также и раннетретерозойскими гранодиоритами /34/. Абсолют- ный возраст кварцевых диоритов, равный 150 млн. лет (приложение № 2), по-видимому, отражает мезозойский этап активизации района.

Гранодиориты и гнейсы.

Гранодиориты (обр. PR₁), слагают несколько интрузивных тел площадью от 0,35 до 13 км², расположенных преимущественно среди дифторитированных архейских метамор- фических пород Чотарской глыбы близ зоны Ульянского разлома в верховьях рек Чотар, Чотар-Макит, Амнускан. Тела гранодиоритов вытянуты согласно с простиранием сланцеватости в дифторитах и имеют четкие согласные контакты с ними. Все они сложены одно- образными по внешнему виду и составу гранодиоритами. Это серые гнейсовидные среднезернистые породы, структура их гипидоморфно- зернистая и бластогипидоморфно-зернистая. В составе гранодиори- тов присутствуют: плагиоклаз № 27-39 (45-55%), кварц (20-25%), речетчатый миоклин (10-20%), биотит (7-12%), роговая обманка (2-3%) и вторичные минералы - эпидот (5-10%), мусковит (3-5%). Аксессорные минералы представлены магнетитом, сференом, апатитом и цирконом. Химический состав гранодиоритов приведен в табл. I (обр. 3825).

Рассматриваемые гранодиориты на территории листа прорваны локомбрийские метаморфические образования и сами прорваны позднепалеозойскими (?) гранитами. Раннепротерозойский возраст их принят на основании сопоставления со сходными гранодиоритами смежной с запада территории, где установлено, что они прорывают раннепротерозойские кварцевые диориты и санки, в свою очередь, прорваны раннепротерозойскими двуслюдянами гранитами /34/. Абсолютный возраст гранодиоритов из интрузивного тела в Межуречье р.Амнускан и руч.Шавликий оказался равным 200 млн. лет (табл.2). Эта цифра указывает, по-видимому, не на фактический возраст пород, а на возраст интенсивных тектонических движений в районе.

Граниты и плагиограниты биотит-тогматиты, дуэльные гнейсы и динны, тянутые вдоль зон сочленения Алданского щита и Чогарской глыбы с Майско-Удским грабеном массивы общей площадью около 170 км² и многочисленные согласные и секущие жилы в нижнепротерозойских метаморфических породах. Контакты массивов с нижнепротерозойскими гнейсами резкие, согласные. Вдоль них в полосе шириной 0,8-1,5 км в гнейсах наблюдаются частые межпластовые жилы гранитов и плагиогранитов мощностью от 0,15 до 1,5 м. Явление гранитизации и значительной мигматизации, находящихся в связи с этими массивами, в районе не установлено. Контакты массивов с диафторированными архейскими образованиями преимущественно скученные. Все массивы, небольшие интрузивные тела и жилы сложены однообразными по внешнему виду и составу гранитами и плагиогранитами, которые связаны друг с другом постепенными переходами. Это белые, светло- и розово-серые среднезернистые гнейсомидные породы с бластогранитовой, гранобластовой, аллотриоморфно-зернистой и бластокатаклистической структурами. Граниты состоят из плагиоклаза № 14-24 (35-40%), решетчатого микроклина (25-35%), кварца (25-30%), биотита (1-5%), мусковита (0-5%). В плагиогранитах количество плагиоклаза возрастает до 65%, а микроклина уменьшается до 6%. Аксессорные минералы - сфеин, апатит и циркон. Вторичные минералы - мусковит, эпидот, гранат. В зоне Станового разлома граниты и плагиограниты претерпели значительные минеральные и структурные изменения, выражавшиеся в образовании в них пластических структур и вторичных минералов - альбигиты и плагиограниты наложен кремнекалиевый метасоматоз, в результате которого они mestами преобразовали в линзовидно-полосчатые

Таблица 2

Абсолютный возраст пород (определения Т.К.Ковальчук, ДВТГУ)

Номер пробы на карте	Порода (валовая проба)	Место взятия пробы	K, %	$\text{Ar} \times 10^{-9}$ г/г	$\frac{\text{Ar}^{40}}{\text{K}^{40}}$	Абсолютный возраст, млн. лет
I	2	3	4	5	6	7
2948	Раннепротерозойский (?) кварцевый диорит	Левобережье р.Оман-джа	3,07	32,3	0,0865	150
3825	Раннепротерозойский гранодиорит	Верховье р.Амнускан	1,82	25,7	0,0116	200
4070	Раннепротерозойский двуслюдяной плагиогранит	р.Чогар	2,71	24,7	0,00748	127
3550	Позднепалеозойский (?) гранит	р.Нимняркай	2,49	34,7	0,0114	195
4562	Позднепалеозойский (?) гранит	"	2,99	21,9	0,006	105
4064	Позднепалеозойский (?) гранит	Правобережье р.Чогар	3,93	38,5 32,7	0,00808 0,00768	140
22II	Позднепалеозойский (?) гранит	р.Чогар	3,49	31,8	0,0075	132±2
3326	Ранненижнемеловой гранодиорит	Левобережье р.Анай-кан	1,91	17,5	0,0075	130
326	Поздненижнемеловой гранодиорит биотит и роговая обманка	Межуречье Бол.Чайдах-Утанах	1,50	14,1	0,0077	134

крупнозернистые породы, содержащие до 40% кварца и 50% макроклина.

К массивам гранитов и плагиогранитов тяготеет большая часть пегматитовых жил мощностью от 0,2 до 20 м и протяженностью до 150 м, залегающих преимущественно согласно с нижнепротерозойскими гнейсами. Жилы пегматитов имеют либо однородное, либо зональное строение. Однородные жилы и краевые части зональных жил сложены кварц-полевошпатовым пегматитом с гранитовой и пянисто-сегрегационной структурами. Они содержат до 10% цепуи (1-6 см) биотита и мусковита. В жилах зонального строения во внутренних частях обособляются зоны (0,15-0,5 м), состоящие из блоков кварца, полевых шпатов и крупных (6-15 см) кристаллов мусковита (10-30%). Химический состав гранитов и плагиогранитов приведен в табл. I (обр. ГГБ, 866, 4070).

На территории листа биотитовые и двуслюдянные граниты и плагиограниты прорывают раннепротерозойские кварцевые диориты и сами подвержены кремне-кальциальному метасоматозу, возраст которого большинством исследователей зоны Становника - Джугджура считается нижнепротерозойским /Г9, 34, 41/. По условиям залегания и приуроченности к древним тектонически ослабленным зонам массивы гнейсовых гранитоидов сходны с раннепротерозойскими интрузиями двуслюдянных гранитов и плагиогранитов на сопредельных с юго-запада и запада территориях. Абсолютный возраст плагиогранитов из массива на р. Чогар оказался равным 127 млн. лет (см. табл. 2) и, по-видимому, отражает мезозойский этап активизации района.

Границы биотитового ($\text{I}_3\text{PR}_1?$) слагают в юго-западной части района северо-восточное окончание (3 km^2) массива, развитого на склоне с запада территории. Вместе с тем городами для них являются архейские габбройды, с которыми граниты имеют четкие интрузивные контакты.

Граниты представляют собой розовато-серые среднезернистые гнейсированные породы с порфиробластовой и коррозионной структурой. Они состоят из плагиоклаза (45-55%), решетчатого микроклина (23-30%), кварца (20-30%), биотита (3-8%). Аксессорные минералы представлены магнетитом, сфеном, орбитом, цирконом и апатитом. Вторичные минералы - этидит и мусковит.

Рассматриваемые граниты условно отнесены к раннему протерозою на основании сопоставления их с аналогичными образованиями сопредельных с юго-запада и запада территорий, где их становление связывается с завершающим этапами раннепротерозойского тектоно-магматического цикла /Г9, 34, 41/.

I	2	3	4	5	6	7
136	Поздненижнемеловой гранит	р.Чогар	3,48	24,8	0,00585	I02
3588	Поздненижнемеловой гранит	хр.Анаиский	3,51	31,6	0,00735	I27
3755	Поздненижнемеловой гранит	Правобережье р.Сехтаг	3,32	30,7	0,00755	I34
593	Позднемеловой лейкократовый гранит	Левобережье р.Салга	3,58	23,0	0,00528	94
4329	Позднемеловой (?) щелочной гранит	Междуречье Джагарма - Нимняркай	3,98	31,7	0,00655	II8
3885	Позднемеловой (?) щелочной гранит	р.Джагарма	3,89	21,3 21,8	0,0045 0,0046	80±1
3886	Позднемеловой (?) щелочной гранит	"	2,69	16,35	0,005	88

ПОЗДНЕПАЛЕОЗОЙСКОЕ (?) ИНТРУЗИИ

РАННЕМЕЛОВЫЕ ИНТРУЗИИ

Удский комплекс

Граниты биотитовые, массивные и гнейсовоидные массивы – Чинтакиндинский (150 км^2) слагают два крупных массива в верхнем течении р. Нымынгай, а также несколько небольших ($2-15 \text{ км}^2$) выходов в бассейнах р. Оманчики и руч. Шавликий. Чинтакиндинский массив имеет изометрическую в плане форму, несколько вытянутую в северо-западном направлении. Гутдинский же массив резко вытянут в северо-западном направлении и, судя по конфигурации его в плане и слабо извилистом в условиях расщепленного рельефа линиям контактов, представляет собой кругозалегающее плитообразное тело. Массивы сложены массивными среднезернистыми гранитами. Гнейсогидные и более мелкозернистые разности их тяготеют к краям частям массивов. Вмещающие породы вдоль контактов с гранитами обычно рассланцованны и биотитизированы.

Граниты представляют собой светло- и розовато-серые среднезернистые массивные, гнейсогидные, часто порфировидные

породы с типидикоморфнозернистой структурой. Они состоят из пластикала № 32-35 (30-45%), решетчатого микроклина, часто образующего порфиробластовые таблицы длиной от 0,7 до 11 см (21-40%), кварца (22-33%), биотита (2-6%). Аксессорные минералы представлены магнетитом, пиритом, ильменитом, цирконом, орбитом, аллитом, сфеном, гранатом. Вторичные минералы – эпидот, мусковит, хлорит, альббит.

По химическому составу (табл. I, обр. 2211, 3550, 4720) рассматриваемые граниты близки к гранитам всех периодов по Р.Дэли, отличаясь от них меньшим содержанием фемиических компонентов. Металлогенетическая специализация их неясна.

Биотитовые граниты прорывают раннепротерозойские кварцевые диориты и гранодиориты и сами, в свою очередь, прорваны ранненижнеловыми диоритами удского комплекса. Эти данные позволяют определить возраст гранитов в диапазоне от раннего протерозоя до раннего мела. Однако учитывая, что в бассейнах рек Джана и Кыран сходные граниты на основании определения абсолютного возраста отнесены к позднему палеозою /9, 24/, возраст биотитовых гранитов района условно принят как позднепалеозойский. Абсолютный возраст их оказался равным 102, 132, 140 и 195 млн. лет (см. табл. 2). Повидимому, эти цифры латируют мезозойский этап активизации зоны становника – Джугджура.

Интузивные образования Удского комплекса занимают обширные площади на территории листа. Они представлены диоритами, габбро-диоритами, гранодиоритами, кварцевыми диоритами, гранитами.

Диориты, габбро-диориты (§ K1 ad) слагают штокобразные тела ($0,3-8,5 \text{ км}^2$) в разных частях района, а на правобережье р. Май и в верховье р. Мал. Оманчики линейно-вытянутые (на 9-10 км) узкие (1,0-1,5 км) трещинные интузии. Контакты интузивных тел в плане близки к прямолинейным, что в условиях резко расщепленного рельефа свидетельствует о крутом их залегании. Все тела имеют неоднородное строение. В них наблюдается частая смена среднезернистых пород мелко- и крупнозернистыми, мезократовых – лейко- и меланократовых. В краевых частях штоков иногда встречаются габбро-диориты и орбикулярные диориты. На карте гравиков А Т тела диоритов выделяются по положительному полю напряженности 700-1500 гамм.

Диориты представляют собой темно-серые мелко- до крупнозернистых, массивные, реже гнейсогидные породы с призматически-зернистой структурой. Они состоят из пластикала № 33-48 (54-72%), обычновенной роговой обманки (11-28%), биотита (2-11%), кварца (2-5%), моноклинного пироксена (0-5%). Аксессорные минералы представлены магнетитом, аллитом, альббитом, сфеном. Вторичные минералы – хлорит и эпидот. В габбро-диоритах основность пластикала повышается до № 50-56 и суммарное количество темно-цветных минералов достигает 40-45%. В орбикулярных диоритах центральные части сферомелов (1-8 см) сложены мелкозернистыми лейкократовыми диоритами, представленными на 20-25% роговой обманкой и на 75-80% пластикалом, а оболочка (0,3-0,5 см) состоит из радиально расположенных кристаллов пластикала. Промежутки между сферомелами заполнены крупнозернистыми агрегатами роговой обманки. Химический состав диоритов приведен в табл. 3 (обр. 2092, 3017).

На территории листа диориты прорывают позднепалеозойские (?) граниты и сами рвутся гранодиоритами Удского комплекса. На сопредельной с юго-востока территории /3/ сходные диориты прорывают верхнепрекие-нижнелововые эфузивы. Эти данные позволяют определить возраст диоритов как раннелововой.

Химический состав ранненижнемеловых, поздненижнемеловых и

позднемеловых интрузивных пород^{X/}

Таблица 3

№ пробы	Порода	Место взятия образца	Содержание					
			SiO ₂	TiO ₂	Al ₂ O ₃	Fe ₂ O ₃		
2992 ^в	Диорит	р.Мая	53,78	0,97	17,64	2,56		
3017	Габбро-диорит	"	47,68	1,20	20,91	2,42	5,22	0,13
1067	Кварцевый диорит	Учанахский массив	58,07	0,76	17,14	2,46	4,97	0,13
1921	Гранодиорит	р.Лука	64,81	0,40	16,00	1,53	4,14	0,11
2090 ^в	"	руч.Мүкүчү	62,63	0,72	16,55	1,75	2,95	0,09
3326 ^л	"	р.Оманджа	69,86	0,38	14,83	1,18	3,51	0,10
3537	Кварцевый диорит	р.Нимиркай	61,82	0,52	19,57	1,04	1,86	0,07
4436	Гранодиорит	р.Накы	64,35	0,60	15,80	1,82	3,17	0,10
6224 ^в	"	р.Оманджа	61,28	0,65	16,86	1,60	3,28	0,10
90	"	р.Амгускан	67,75	0,44	15,20	1,18	3,70	0,11
104	Гранодиорит	руч.Амнускан	68,23	0,50	14,83	1,37	2,33	0,05
2655	Гранит	р.Нимиркай	75,21	0,15	13,00	0,26	1,74	0,09
3579	"	р.Оманджа	75,71	0,16	12,60	0,38	1,16	0,07
3888 ^в	"	р.Дагарма	72,88	0,23	14,65	0,68	1,47	0,14
327	Гранодиорит	р.Бол.Чайдах	65,86	0,56	15,59	1,71	1,28	0,06
2353	Гранит	р.Салта	74,97	0,26	12,75	0,11	2,36	0,09
3885 ^в	Щелочистый гранит	р.Дагарма	74,42	0,27	11,58	3,28	1,16	0,06
4311	"	"	75,10	0,21	11,80	1,95	1,78	0,06

№ пробы	Порода	Место взятия образца	Содержание										
			FeO	MnO	MgO	CaO	Na ₂ O	K ₂ O	P ₂ O ₅	SO ₃	CO ₂	H ₂ O ⁺	
2992 ^в	Диорит	р.Мая	5,22	0,13	4,85	7,64	4,57	1,31	0,29	-	0,15	0,57	99,63
3017	Габбро-диорит	"	5,22	0,13	4,85	7,64	4,57	1,31	0,29	-	-	1,03	99,43
1067	Кварцевый диорит	Учанахский массив	5,22	0,13	4,85	11,25	2,47	0,52	0,30	-	-	1,32	99,47
1921	Гранодиорит	р.Лука	4,14	0,11	2,84	5,79	4,28	2,18	0,22	-	0,15	1,32	100,11
2090 ^в	"	руч.Мүкүчү	2,95	0,09	2,46	3,96	4,01	2,45	0,13	0,02	0,31	0,69	99,81
3326 ^л	"	р.Оманджа	69,86	0,38	14,83	1,18	3,15	4,31	4,27	2,49	0,20	-	0,43
3537	Кварцевый диорит	р.Нимиркай	61,82	0,52	19,57	1,04	1,86	0,90	2,46	4,63	3,62	0,14	0,01
4436	Гранодиорит	р.Накы	64,35	0,60	15,80	1,82	3,17	0,10	1,76	4,35	5,33	1,81	0,23
6224 ^в	"	р.Оманджа	61,28	0,65	16,86	1,60	3,28	0,10	2,40	4,46	3,96	2,78	0,18
90	"	р.Амгускан	67,75	0,44	15,20	1,18	3,70	0,11	2,03	5,23	4,07	3,91	0,20
104	Гранодиорит	руч.Амнускан	68,23	0,50	14,83	1,37	2,33	0,05	1,22	3,28	4,23	3,06	0,11
2655	Гранит	р.Нимиркай	75,21	0,15	13,00	0,26	1,74	0,09	1,48	3,09	3,95	3,31	0,16
3579	"	р.Оманджа	75,71	0,16	12,60	0,38	1,16	0,07	0,34	0,95	4,00	4,15	0,03
3888 ^в	"	р.Дагарма	72,88	0,23	14,65	0,68	1,47	0,14	0,19	0,78	3,84	4,35	0,02
327	Гранодиорит	р.Бол.Чайдах	65,86	0,56	15,59	1,71	1,28	0,06	0,52	1,43	4,23	3,86	0,02
2353	Гранит	р.Салта	74,97	0,26	12,75	0,11	2,36	0,09	1,91	4,01	3,61	3,00	0,05
3885 ^в	Щелочистый гранит	р.Дагарма	74,42	0,27	11,58	3,28	1,16	0,06	1,12	0,99	3,90	3,65	0,03
4311	"	"	75,10	0,21	11,80	1,95	1,78	0,06	0,27	0,11	3,83	4,80	0,02

X/
Анализы выполнены в химической лаборатории ДВГУ.

Числовые характеристики

по А.Н.Заварницкому

№ пробы	a	c	‘ δ	b	s	a'	c'
2092 ^b	12,1	5,9	-	19,2	62,8	-	18,3
3017	7,2	11,3	-	22,7	58,8	-	14,5
1067	12,9	5,3	-	13,1	68,7	-	14,5
1921	12,4	4,5	-	8,7	74,3	-	3,4
2090 ^a	13,0	4,6	-	10,9	71,6	-	6,1
3326 ^л	15,1	2,2	-	5,0	77,8	-	15,2
3537	14,6	5,4	-	8,3	71,7	15,3	-
4436	12,7	4,2	-	10,0	73,2	-	12,2
6224 ^a	14,7	4,0	-	10,9	70,5	-	22,1
90	13,7	3,3	-	5,9	77,2	-	11,6
104	13,4	3,1	-	6,0	77,5	-	10,2
2655	14,3	1,1	-	2,2	82,5	12,2	-
3579	14,2	0,9	-	2,3	82,6	8,9	-
3886 ^a	14,4	1,7	-	3,8	80,1	31,0	-
327	12,3	4,2	-	7,7	75,8	-	8,0
2353	13,3	1,2	-	3,8	81,8	20,0	-
3885 ^e	14,8	-	0,6	3,7	81,0	-	6,7
4311	14,6	0,1	-	3,8	81,4	3,6	-

r'	m'	n	t	φ	a:c	q
38,4	43,3	84,1	1,3	II,6	2,1	-4,5
32,5	53,0	88,9	1,9	9,7	0,6	-8,1
48,3	37,2	75,0	1,0	IV,0	2,43	6,4
48,5	48,1	71,3	0,5	IV,1	2,7	19,4
45,1	48,8	72,3	0,9	IV,7	2,8	12,5
55,2	29,6	66,0	0,4	IV,6	7,1	23,1
48,5	36,2	81,7	0,6	IV,8	2,7	8,8
47,4	40,4	68,4	0,7	IV,5	3,0	16,7
46,1	31,8	61,3	0,8	IV,2	3,7	7,5
53,5	34,9	67,7	0,4	IV,3	4,1	23,6
47,8	42,0	64,1	0,5	IV,3	4,3	25,1
62,1	25,7	59,4	0,1	IV,9	12,8	35,2
77,6	13,5	57,3	0,2	IV,6	13,6	15,5
46,8	22,2	62,5	0,2	IV,7	8,6	29,7
50,0	42,0	64,4	0,6	IV,0	20,0	22,8
31,8	48,2	61,9	0,3	IV,5	2,4	35,7
87,6	5,7	57,7	0,3	IV,8	26,2	31,7
54,8	0,2	57,8	0,2	IV,5	41,5	33,6
II,4	-	-	-	-	-	-

Гранодиориты, граниты (ГК_1 и Г), в ареале имеющие диориты (ДК_1 и Д) слагают Утанский массив (около 140 км^2) в бассейнах рек Эдигу-Чайдах, Амускан и на сопредельных территориях: Чалбуки-Лянского в верховье р. Салги (130 км^2), Икондинского в бассейне р. Лугки (70 км^2), Намусского в бассейне р. Наму (45 км^2) и Гитинского в бассейне р. Оманджи (140 км^2). Небольшие ($0,4-36 \text{ км}^2$) обособленные тела гранодиоритов установлены в бассейнах рек Атаги, Нимниякай и Сехтага. Утанский и Намусский массивы, западная часть Гитинского массива представляют собой вытянутые в блокиротном направлении трещинные интрузивные тела с прямолинейными или слабозигзагистыми границами. Контакты их круго ($70-80^\circ$) наклонены к югу. Близ контактов вмещающие породы окварцированы и хлоритизированы. Крупные массивы и небольшие интрузивные тела сложены в основном гранодиоритами. В краевых частях массивов гранодиориты постепенно переходят в кварцевые диориты, обнажающиеся в виде полос шириной от 0,1 до 1,5 км. Участки ($5-30 \text{ км}^2$), сложенные кварцевыми диоритами, встречаются и во внутренних частях массивов. Граниты, связанные постепенными переходами с гранодиоритами, наблюдались на небольших ($150-300 \text{ м}$) интервалах обнажений в верховье р. Салги. Большинство массивов гранодиоритов хорошо оконтуривается на аэромагнитных картах.

Гранодиориты — серые, среднезернистые, массивные породы с типично-морфно-зернистой структурой. Они состоят из андезина № 35-40 (40-55%), калиевого полевого шпата (10-25%), кварца (20-25%), биотита (4-10%), роговой обманки (4-10%). Аксессорные минералы — сфен, апатит, циркон, ортит и магнетит; вторичные — эпидот, хлорит, серцит. Граниты, в отличие от гранодиоритов, содержат 25-35% плагиоклаза, 30-35% калиевого полевого шпата, 30-35% кварца, 3-5% биотита и роговой обманки. В кварцевых диоритах количество темноцветных минералов возрастает до 20-25%, а кварца уменьшается до 8%. Чаще им свойственны мелкозернистое и порфировидное сложение. Весьма обычны в рассматриваемых гранитоидах плагиоклазовые обособления (0,8-40 см) мелкозернистых порфировидных диоритов, состоящих из плагиоклаза (55-60%), роговой обманки (30-35%), биотита (3-5%), кварца (0-3%), магнетита (2-3%). Химический состав гранитоидов ульского комплекса приведен в табл. 3 (обр. 90, 1067, 1921, 2090^a, 3326^г, 3537, 4436, 6224^а). С ними на территории листа связана часть проявленной молибденовой, золоторудной, медной и полиметаллической минерализации.

На территории листа гранодиориты ульского комплекса прорывают верхнерекские — нижнемеловые эфрумы джелонской свиты и свиты, в свою очередь, рвутся гранитами джульджурского комплекса. Абсолютный возраст их составляет ГЗО млн. лет (см. табл. 3). На сопредельной с юго-запада территории аналогичные гранитоиды, прорывая эфрумы джелонской свиты, присутствуют в составе галек и валунов валунник-горючих конгломератов /41/. Эти данные позволяют считать возраст гранодиоритов, кварцевых диоритов и гранитов ранненижнемеловым.

Джульджурский комплекс

Граниты (ГК_1 и Г) и гранодиориты (ДК_1 и Д) слагают в междууречье Эдигу-Чайдах и Амускан, в нижнем течении р. Сехтаг, на водоразделе рек Оманджи и Аналкана небольшие ($22-65 \text{ км}^2$) вытянутые в блокиротном направлении массивы и штокобобазные тела ($0,5-14 \text{ км}^2$). Они прорывают образование докембрия, эфрумы джелонской свиты, позднепалеозойские (?) и ранненижнемеловые гранитоиды. В большинстве выходов рассматриваемых гранитоидов развиты среднезернистые граниты, которые в краевых частях интрузий приобретают мелкозернистое сложение. Гранодиориты слагают массив в бассейне р. Бол. Чайдах и два небольших штока в бассейне р. Эдигу-Чайдах. Спорадически они встречаются в краевых частях более крупных массивов.

Граниты — светло- и розово-серые, мелко- и среднезернистые, массивные, часто порфировидные породы с гранитовой, гипидиоморфно-зернистой и микролитоматитовой структурами. Они состоят из плагиоклаза № 20-34 (25-42%), калиевого полевого шпата (28-44%), кварца (27-31%), биотита (2-6%). Иногда в них присутствует роговая обманка (до 3%). Аксессорные минералы — циркон, апатит, сфен, ортит, пирит и халькопирит. Вторичные минералы представлены хлоритом и аплитом. Гранодиориты состоят из плагиоклаза (45-50%), кварца (22-23%), калиевого полевого шпата (20-24%), биотита и роговой обманки (9-11%). Химический состав рассматриваемых пород приведен в табл. 3 (обр. 104, 327, 2655, 3579, 386^а). С интрузиями гранитоидов джульджурского комплекса в районе связана проявление полиметаллов и молибдена.

Нижняя возрастная граница гранитов и гранодиоритов определяется тем, что они рвут гранодиориты ульского комплекса. Верхняя граница формирования их на территории листа неизвестна. По данным В. Ф. Зубковой, аналогичные граниты в бассейне р. Кирен

прорывают нижненемеловые эффиузы магейской свиты и сами, в свою очередь, прорваны поздненемеловыми лейкократовыми гранитами /9/. На основании этих данных возраст гранитоидов джульджурского комплекса принят поздненемеловым. Абсолютный возраст их равен 102,127 и 134 млн. лет (см.табл.2).

ПОЗДНЕНЕМЕЛОВЫЕ ИНТРУЗИИ

Граниты биотитовые, альсакито-вые, шелочинные (TK_2) слагают в районе относительно небольшие массивы. В междууречье Салги и Лукки расположены изометричный в плане массив (72 km^2), залегающий среди метаморфических пород архея и гранодиоритов улдского комплекса. Линии контактов его в плане сравнительно прямолинейные, что с учетом

резко расширенного рельефа свидетельствует о кругом падении их массива. Массив имеет однородное строение. Он сложен лейкократовыми биотитовыми гранитами, среди которых эпизодически встречаются альсакиты. Небольшое ($1,5 \text{ km}^2$) тело аналогичных гранитов установлено на левобережье р.Салги. В южной части района расположены массив (31 km^2) белочных гранитов. Он имеет в плане каплевидную форму, слегка вытянут в широтном направлении и залегает среди эффиузивов джелонской свиты и гранитоидов улдского и джульджурского комплексов.

Лейкократовые граниты представляют собой розовато-серые, мелко- и среднезернистые массивные породы с гранитовой и микропегматитовой структурами. Для них характерны миароловые пустоты. Состав гранитов следующий: плагиоклаз № 12-29 (21-26%), калиевый полевой шпат (30-41%), кварц (29-38%), биотит (2-5%). В альсакитах количество кварца составляет 31-42%, плагиоклаза - 15-16%, калиевого полевого шпата - 43-54%. Аксессорные минералы представлены магнетитом, ортитом, цирконом, алатитом. По химическому составу (см.табл.3, обр.2353) лейкократовые граниты близки к риолитам по Р.Дэли.

Шелочные граниты внешне сходны с лейкократовыми гранитами, но заметно отличаются от них по составу. Они состоят из микроперитита (72-78%), кварца (20-25%), биотита, белочного пироксена, почти полностью замещенного риолитом (2-5%). Аксессорные минералы - алатит, циркон, гранат, лейкоксен, ильменит, магнетит, флюорит. По химическому составу шелочные граниты близки к шелочным гранитам по Р.Дэли (см.табл.3, обр.3885е, 431).

Лейкократовые граниты и альсакиты прорывают гранодиориты улдского комплекса и сами рвутся меловыми дайками разного состава. Абсолютный возраст их равен 94 млн. лет (см.табл.2), что соответ-

ствует позднему мелу. Аналогичные граниты с абсолютным возрастом 83-108 млн. лет широко распространены в зоне Становика - джульджур. На основании этих данных возраст лейкократовых гранитов и альсакитов считается поздненемеловым. Шелочные граниты междууречья Джагарма и Нимирякай прорывают эффиузы джелонской свиты. Абсолютный возраст их равен 118,88,80±1 млн. лет (см. табл.2). Учитывая эти данные, а также сходство шелочных гранитов с лейкократовыми гранитами района по внешнему виду и частично петрохимическим особенностям, они по времени становления условно сопоставляются с поздненемеловыми гранитоидами.

МЕЛОВЫЕ ИНТРУЗИИ

Дайки гранодиорит - порфироров (TK), фельзитов, фельзит - порфироров (APK), дiorитов и порфиритов (δPK), спессартитов (χK) широко распространены на территории листа. Они тяготеют к массивам ранне- и поздненемеловых гранитоидов и структурированы в несколько полей ($8-95 \text{ km}^2$), контролируемых, по-видимому, непротяженными тектоническими ослабленными зонами северо-восточного простирания. Вмещающими породами для даек являются практически все докайнозойские образования района. Даек представляют собой птигообразные тела преимущественно северо-восточного и близмеридионального простирания, кругло (60-85°) падающие к северо-западу или к юго-востоку. Единичные даек ориентированы в северо-западном направлении. Протяженность их достигает 1-2-2 км, мощность колеблется от 0,8 до 30 м. Контакты даек с вмещающими породами резкие, прямые или слабо извилистые. Эндогенные экзоконтактовые изменения для них не характерны. Данные о взаимоотношениях даек друг с другом противоречивы. Во многих случаях устанавливается определенная последовательность внедрения даек: диоритовые порфириты, гранодиорит-порфириты, гранит-порфириты, фельзиты. Вместе с тем нередко наблюдается прорывание даек гранит- и гранодиорит-порфиритов даеками диоритовых порфиритов.

Помимо описанных выше дайковых пород, в районе встречаются алатиты и гранит-аллиты, которые слагают маломощные (0,04-0,8 м) жилы в массивах ранне- и поздненемеловых гранитоидов. Жилы ориентированы в разнообразных направлениях, протяженность их не превышает первых десятков метров. Состав и структура всех отмеченных выше дайковых пород обычны для пород соответствующих наимен-

нований. Аналогичные разновидности их описаны в литературе по отдельным районам /2, 3, 28/.

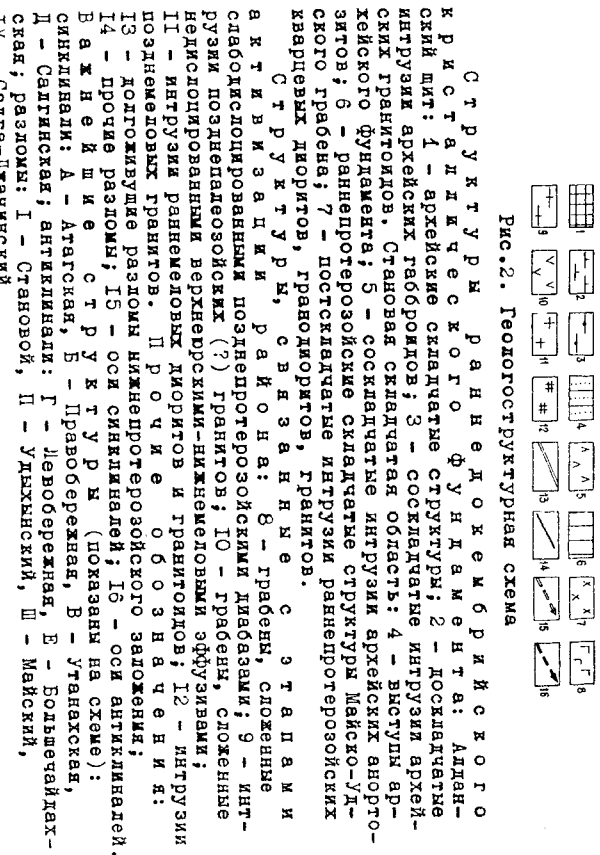
Несмотря на то, что дайки этих пород прорывают все докаменно-зойские стратицированные и интрузивные образования, большинство их полей тяготеет к интрузиям ранне- и позднемеловых гранитоидов и, по-видимому, генетически связано с ними. Это свидетельствует о меловом возрасте большинства даек района. Не исключено, что некоторые дайки диоритовых порфиритов являлись корневыми частями покровов верхнегорских – нижнемеловых эфузивов, однако отделить их от меловых даек, так же как и расчленить последние на образования, генетически связанные со структурами конкретных мезозойских интрузий, крайне трудно. Возможно также, что часть даек внедрилась независимо от интрузий гранитоидов и относится к самостоятельному комплексу малых интрузий. К дайковым полям на территории листа часто приурочены рассеянные золота и полиметаллы. Кварцевые жилы, встречающиеся в районе, по-видимому, тоже имеют преимущественно меловой возраст. Их мощность варирует от 0,05 до 18 м, протяженность достигает нескольких десятков метров. Они сложены белым, светло-серым, сливным, шестоватым и друзовидным кварцем. С кварцевыми жилами в районе связаны золотая, медная, молибденовая и полиметаллическая минерализация.

ТЕКОНИКА

Территория листа расположена в зоне соединения Алданского щита и Становой складчатой области. Слагающие их комплексы пород составляют единый раннедокембрийский кристаллический фундамент (рис.2). Район пережил несколько этапов тектонической активизации, с которыми связано формирование наложенных структур, образованных позднепротерозийскими (?) и мезозойскими эфузивами, а также становление позднепалеозойских (?) и меловых интрузий.

Структуры раннедокембрийского кристаллического фундамента

Сформировались в две эпохи складчатости: в архее замершилось формирование складчатого комплекса на Алданском щите, в раннем протерозое – в зоне Становой складчатой области, развивавшейся на архейском фундаменте.



Алданский щит

Архейские образования северо-западной части района принадлежат юго-восточной окраине Алданского щита. Они смыты в линейные складки, являющиеся, по-видимому, структурами второго порядка по отношению к Иломской и Чайдахской антиклиналям, установленным на смежных территориях /2,3,34/. Наиболее крупными из этих складок являются Атагская, Привобережная и Утанахская синклинали, Левобережная и Большечайдахская антиклинали.

А т а г с к а я с и н к л и н а л и . Ось проходит в северо-западном направлении от среднего течения р.Атаги до р.Суксу. Протяженность синклинали в изученном районе более 30 км, ширина 10 км. Северо-восточное крыло сложено образованиемми корицанской и сутамской свит и архейскими габброродами. Оно погружается на юго-запад под углами 40–70°. На юго-западном крыле синклинали обнажаются гнейсы и кристаллические сланцы сутамской свиты, имеющие азимут падения 30–50°, угол падения 40–80°. Это крыло является также северо-восточным крылом Левобережной антиклинали, полностью сложенной породами сутамской свиты. Ось антиклинали прослеживается от устья р.Атаги до нижнего течения руч.Мал.Курумана, где складка, по-видимому, затухает. Значительная часть юго-западного крыла Л е в о б е р е ж н о й а н т и -
к л и н а л и срезана Майским разломом. В сохранившемся фрагменте крыла слой круто (60–80°) погружаются в юго-западном направлении. Здесь часто встречаются прямые симметричные складки шириной 150–600 м, шарниры которых под углом 15–20° погружаются на юго-восток. П р а в о б е р е ж н а я , У т а н а х с к а я с и н к л и н а л и и Б о л ь ш е ч а й д а х с к а я а н т и к л и н а л ь расположены на правобережье р.Май и сложены породами худурканской свиты. Это протяженные (25–30 км) неширокие (5–10 км) острые складки с кругопадающими (60–80°) крыльями, с вертикальными или слегка наклоненными к юго-западу осевыми плоскостями. Оси их простираются в северо-западном направлении. В ядрах Привобережной и Утанахской синклиналей обнажаются образования средней, а в ядре Большечайдахской антиклинали – нижней подсвиты худурканской свиты. Крылья складок усложнены остройми прямыми складками шириной от 1 до 10 м. Наблюдения над линейностью в метаморфических породах, слагающих рассматриваемые складки, а также параллелиями мелких складок показывают, что шарниры их полого (10–20°) погружаются в северо-западном направлении

от р.Май до водораздела рек Бол.Чайдах и Утанах, а далее полого воздеваются в том же направлении. Юго-западнее Утанахской синклинали установлены фрагменты двух сопряженных друг с другом складок, ориентированных в близиширотном направлении и замаскированных зоной близиширотных разломов. В сохранившихся частях крыльев наблюдается плавный изгиб простирания слоев от северо-восточного (аз.пд. 310–330°) близ западной границы района до широтного и северо-западного на левобережье руч.Утанах.

В строении рассматриваемых складок совместно с метаморфическими породами участвуют архейские гиперстеновые и аллюлитовые граниты, которые тяготеют к близосейым частям синклиналей и антиклиналей.

Становая складчатая область

Становая складчатая область отделена от Алданского щита становым глубинным разломом. В ее составе выделяются две крупные структурные единицы: Чогарская глыба, являющаяся выступом архейского фундамента, и Майско-Удский грабен^х.

Ч о г а р с к а я г л ы б а занимает всю южную половину территории листа. Она рассматривается в составе Становой складчатой области на основании того, что слагающие ее породы претерпели структурную перестройку, расстанчование и диафторез в амфиболовой фации, обусловленные раннепротерозойской складчатостью. Первичный характер архейской структуры сохранился, по-видимому, юго-восточнее водоразделной линии между двумя верхними составляющими р.Чогар. Здесь распознаются фрагменты антиклинальной и сопряженных с ней двух синклинальных складок, оси которых, находясь друг от друга на расстоянии 2,5–3 км, простираются в близиширотном направлении. Складки прямые, симметричные. Углы падения слоев варьируют от 40 до 80°. Крылья складок усложнены прямыми и асимметричными складками шириной от 80 до 250 м. Шарниры этих складок под углами 15–30° погружаются как в восточном, так и в западном направлении, что свидетельствует об интенсивной ундуляции шарниров главных складок.

В полосе структурно переработанных архейских образований, прослеженной в северной и северо-западной краевых частях Чогарской глыбы, простижение слоев плавно меняется от юго-западного

х/ Эту структуру, учитывая ее морфологические особенности, времена заложения и геосинклинальный характер развития, правильнее было бы именовать геосинклинальным трогом. – Прим.ред.

блиэ р.Чогар до широтного в бассейнах рек Чогар-Макит и Шавликий, согласуясь с направлением складчатых структур в становом комплексе бассейнов рек Ульхиин, Эдигту-Чайдах, Мая. Углы падения их, как правило, крутые (70 - 80°), нередко вертикальные. На фоне в общем моноклинального залегания дифтогорионных пород изредка встречаются острые прямые симметричные и запрокинутые к югу и юго-востоку складки шириной до 300 м.

М а й с к о - у д с к и й г р а б е н полностью сложен нижнепротерозойскими образованиями. Он расположен в центральной части района и прослеживается от западной до восточной границы его. С юга грабен ограничен Ульхиинским, а с севера Становым и Салга-Джанским разломами, амплитуда опускания по которым превышает 2000 м / 29 , 30 , 34 / . Ширина грабена колеблется от 10 км в верховье р.Эдигту-Чайдах до 20 км в бассейне Салги. Главной складкой структурой Майско-Удского грабена является С а л г и н - с к а я с и н к л и н а л ь . Ось синклиниали, плавно изгибаясь, проходит в близи широтном направлении от верховья р.Эдигту-Чайдах до устья р.Чогар-Макит, где складка срезана Утанахским массивом, за которым она прослеживается вдоль р.Мая до восточной границы района. Южное крыло синклиниали, сложенное породами сиваканской куманской свиты, закартировано в бассейнах рек Чогар-Макит, Амгускан и на правобережье р.Мая на протяжении 60 км. Ширина его 5-9 км. Простижение слоев здесь плавно меняется от северо-восточного в западной части района до широтного близ р.Чогар-Макит, северо-западного в бас.руч.Микитик и вновь широтного в верховье р.Амгускан. Углы падения слоев варьируют от 40 до 70° . Более крутыми (70 - 85°) они становятся в близосевовой части складки, где иногда наблюдается затронивание слоев на север. Северное крыло синклиниали на западе срезано интрузиями раннепротерозойских кверцевых диоритов и раннемеловых гранитоидов. Часть его сохранилась в бассейнах верхних левых притоков р.Эдигту-Чайдах, Ванга, Халани и нижнего течения Салги. Крыло сложено породами куманской и сиваканской свит; простижение слоев в нем изменяется от северо-западного в междууречье Халани - Ванга до широтного восточно-западного на левобережье р.Салги. Углы падения слоев варьируются в пределах 50-60°. Ядро синклиниали сложено породами лавлинской свиты, обычно затянутыми круто (70 - 85°). На крыльях Салгинской синклиниали широко развиты складки второго порядка шириной от 1,5 до 5 км. Более мелкие складки (от 0,5-3 м до 0,6 км) отмечаются преимущественно в породах сиваканской и лав-

линской свит. Шариры их полого (10 - 15°) погружаются в западном и восточном направлениях.

В ориентировке главных складчатых структур Алданского щита и грабена имеются и различия. Если на Алданском щите они простирются в северо-западном направлении, то в пределах Майско-Удского грабена - в близи широтном. Эти данные свидетельствуют о расположении Становой складчатой области в изученной ее части на архейском фундаменте без видимого унаследования его структур. Для станового комплекса района не характерны значительные фациальные изменения метаморфических пород как вкrest, так и по простирации Майско-Удского грабена, что может свидетельствовать о более широком распространении в геологическом прошлом нижнепротерозойских образований. Вместе с тем, неравномерное развитие дифтогореза в Чогарской глыбе, степень которого понижается от краевых частей ее к внутренним, позволяет предположить, что породы станового комплекса сформировались в условиях сравнительно узкого геосинклинального прогиба.

В строении Становой складчатой области большую роль играют разрывные нарушения, заложившиеся, по-видимому, в раннем прогре-
зове. Самнейшими из них являются Становая и Удхийский разломы.
С т а н о в о й р а з л о м прослеживается в район со смежной
с запада территории и протягивается в широтном направлении от
верхних притоков р.Эдигту-Чайдах, на левобережье которой он скрыт
Утанахским массивом гранитоидов, через р.Мая, вдоль южного склона хр.Атагского до среднего течения р.Салги, где он замаскирован
мезозойскими интрузиями. На всем протяжении разлом картируется
по широкой (0,4-1,5 км) зоне рассланцованных пород и дифтогоритов
фации зеленых сланцев, сланцеватость и листоватость которых круто
(60-80°) погружается к северу. На территории листа нет надежных
данных об амплитуде вертикального перемещения по Становому раз-
лому. Судя по материалам на снежной с запада территории, она
достигает нескольких километров / 34 / . Большинство исследователей / 10 , 13 , 34 / определяет возраст заложения Станового разлома
как раннепротерозойский. Со Становым разломом соприключен субширотный Салга-Джанский разлом /^х, фрагменты которого сохранились в
—
х/ Предположение автора о том, что Становой глубинный раз-
лом на территории листа поворачивает на северо-восток и, следо-
вательно, утрачивает свое значение как граница между архаем Ал-
данского щита и Дугдупуро-Становой складчатой области, кажется
недостаточно обоснованным. Введение же нового географического
название в литературу (Салга-Джанский) для разлома, являю-
щегося естественным продолжением Станового и, как и последний,
разделяющего архейские и нижнепротерозойские образования, пред-
ставляется излишним. За этим разломом следовало бы сохранить
название "Становой". - Прим.ред.

бассейне р.Салги. Этот разлом на сопредельной с востока площади является северной границей Майско-Ульского трапеана. По-видимому, синхронных по времени заложения Становому разлому является Майский разлом, простеженный вдоль р.Май от северо-западного угла расположенных между Становым и Майским разломами. Это протяженные разрывные нарушения, большинство из которых являются взбросами с амплитудой вертикального перемещения до 2,5 км. На местности они выражены зонами (0,05-2 км) блокомилонитов и рассланцованных пород. Сместители их круто (50-70°) падают на север и северо-восток. Эти разломы образовались, по-видимому, во время формирования раннепротерозойской геосинклиниали. Удачный разлом прослежен от верховья р.Лучи через среднее течение рек Чогар-Макит, Шавликий до устья р.Сехтаг. На местности он устанавливается по зоне (80-400 м) блокомилонитов и рассланцованных пород, в которых сланцеватость под углом 60-70° погружается к северу. Учитывая, что на западном и восточном флангах в висячем боку Удыхинского разлома не обнаруживается сиванская свита нижнего протерозоя, имеющая мощность около 2 км, амплитуда вертикального перемещения по нему превышает два километра. Удачинский и сопряженные с ним разломы заложились, по-видимому, тоже в раннем протерозое, о чем свидетельствует пророчченность к ним интрузий раннепротерозойских гранитоидов.

Структуры, обусловленные тектонической активизацией района

Наиболее раннее проявление активизации в районе, связанной, по-видимому, с развитием Аянского перикратонного прогиба /30/, выражалось в формировании позднепротерозойских (?) покровных диабазов. О первичном залегании их судить трудно, поскольку они обнаруживаются в тектонических блоках и ксенолитах среди меловых интрузий. На прилегающей к востоку территории аналогичных образований не установлено признаков складчатости.

По-видимому, в позднем палеозое в связи с интенсивными дислокациями в Монголо-Охотской геосинклиниали южная часть территории листа претерпела тектоническую активизацию, в результате которой по образовавшимся тектонически ослабленным зонам северо-западного простирания произошло внедрение интрузий позднепалеозойских (?) гранитов. Вероятно одной из таких зон обусловлена аномалия в бассейне р.Нимнажай.

Важную роль в формировании современного структурного плана района сыграла мезозойская тектонико-магматическая активизация. С ней связано поднятие существовавших и образование новых разломов, изменение зонтизмов среднего состава и становление множественных интрузий. О степени дислокированности зонтизов в районе судить трудно из-за фрагментарного характера их выходов. Подоны покровов на левобережье р.Май и в верховье р.Салги пологие (10-15°) падают на юг. В то же время в бассейнах рек Утанах, Нимнажай и Оманджа единичные замеры элементов залегания в туфах свидетельствуют о более крутом (20-35°) западном падении покровов. Признаков складчатости в породах покровов не обнаружено, в связи с чем допустимо предположение, что наклонное залегание их обусловлено неровностями рельефа в период измелиния и интенсивной разрывной тектоники. Размещение большинства меловых интрузий контролировалось разломами близиширотного, реже северо-западного простирания, заложенных еще в раннем протерозое и подновленных в мезозое. Наиболее крупные массивы раннемеловых гранитоидов – Утанахский, Чалбук-Яконский приурочены к зоне Станового разлома и сопряженных с ним менее крупных разломов (Икандинский массив).

Разрывные нарушения мезозойского этапа активизации чрезвычайно широко развиты в районе. Среди них выделяются три системы разломов: близиширотного, северо-западного и северо-восточного простирания. Разломы близиширотного и северо-западного направления, по-видимому, в большинстве случаев образовались вдоль древних тектонически ослабленных зон. Так, в зонах Станового, Удачинского и других разломов закартированы многочисленные разрывные нарушения, рассекающие, наряду с докембрийскими образованиями, и массивы раннемеловых гранитоидов. На местности они расположены по зонам (0,5-30 м) тектонических брекчий, мионитов и рассланцованных пород, в которых часто устанавливаются зеркала скольжения. Сместители их круто (60-80°) падают к северу и северо-востоку. Амплитуда вертикального перемещения по ним, по-видимому, достигает нескольких сот метров.

Наиболее поздними разрывными нарушениями района являются разломы северо-восточного простирания. По ним произошло смешение разломов северо-западного и близиширотного направления. Эти разломы хорошо различаются на аэрофотоснимках, а на местности докуменируются по зонам (0,3-15 м) дробления, окварцевания, пиритизации, цеолитизации, залегающим скольжениям. Сместители нарушений под углами 60-80° падают к северо-западу и юго-востоку. Амплитуда вертикального перемещения по ним, вероятно, не превышает нескольких сот метров, горизонтального – 1,5 км. Среди разломов

северо-восточного простирания, по-видимому, имеются нормальные сбросы, выбросы и свидетельства, однако классификация их по типам затруднена вследствие отсутствия в дочетвертичных стратифицированных образованиях четких маркирующих горизонтов. Наряду с разрывными нарушениями северо-восточного простирания в районе были заложены сравнительно крупные зоны повышенной трещиноватости этого же направления, определившие, как и разломы, размещение полей меловых даек. К разлому и зонам повышенной трещиноватости северо-восточного направления, имеющим важное металлогеническое значение, приурочена золоторудная, медная и полиметаллическая минерализация в районе.

ГЕОМОРФОЛОГИЯ

Рельеф района сформировался в основном под воздействием экзогенных процессов, интенсивность которых обусловлена новейшими тектоническими движениями. Значительную роль в формировании рельефа сыграли также состав развитых в районе город, климат и многолетняя мерзлота. Под влиянием этих процессов в районе образовались наклонные денудационно-эрозионные, эрозионно-денудационные, денудационно-экзарационные и денудационные поверхности, субгоризонтальные разновозрастные поверхности, образование деятельности рек и ледников. Большинство из них хорошо дешифрируется на аэрофотоснимках.

Денудационно-эрэзионные поверхности Малского, Атагского, Аналского, Джугдира и их отрогов. Они занимают большую часть территории листа в пределах абсолютных высот от 400 до 2000 м. Относительные превышения описываемых поверхностей над днищами долин рек 600–1100 м. Для них характерны узкие, скалистые, пилообразные водораздельные гребни. Слоны водоразделов вогнутые, кривизна их в приводораздельной части достигает 40° , уменьшается в направлении к долинам рек до 15° . Они расчленены многочисленными узкими распадками и долинами мелких ручьев, имеющими кругой ступенчатый продольный профиль. Долины рек и ручьев характеризуются узкими днищами ($0,05$ – $0,5$ км), борта их выпуклы, часто обрывистые, продольный профиль сравнительно крутое (3 – 4°). Руслы водотоков глубоко врезаны в днища долин. Устья долин мелких ручьев по отношению к гальвигам крупных рек расположены на 15 м выше. В долинах рек Мал, Чогара, Джагары и др. наблюдаются антицедентные участки протяженностью до 5 км. Реки здесь текут по коренному ложу или среди нагромож-

дений крупных (5–10 м) глыб. Судя по резко очерченным гребням водоразделов, интенсивной расчлененности крутых склонов, на которых развиты незакрепленные глыбовые осадки, в формировании отсыпываемых поверхностей главная роль принадлежит процессам эрозии и гравитационного сноса. Значительного накопления аллювия в долинах рек и ручьев, расчленяющих эти поверхности, не происходит. Наоборот, часто наблюдается размыкание, снос и перемещение русловых и террасовых отложений, что создает неблагоприятные условия для формирования здесь россыпных месторождений.

Эрозионно-денудационные поверхности – на докембрийских метаморфических и интрузионных породах. Для этих поверхностей характерны широкие, плоские и выпуклые водоразделы, увеличение цепью невысоких куполовидных вершин, разделенных неглубокими заболоченными седловинами. Поперечный профиль склонов кругизной 6 – 15° прямой или слабовыпуклый. На склонах развиты суглинки, дресвыники. Переход склонов к днищам долин плавный. Русла рек имеют сравнительно пологий (до 20°) продольный профиль. В долинах рек развиты пойма и четыре уровня террас. Мягкие, стяжанные очертания водоразделов и склонов, характер рыхлых покровных образований на них свидетельствуют о формировании отсыпываемых поверхностей в основном под влиянием процессов денудации. В долинах рек в пределах этих поверхностей происходит интенсивное накопление аллювия и здесь возможно формирование россыпных месторождений.

Денудационно-карстовые поверхности – на северных склонах хр. Атагского, Аналского и их отрогов и представлены ледниково-цирковыми, имеющими форму чашеобразных углублений, врезанных в крутые склоны водоразделов в пределах абсолютных высот 1200–1800 м. Ширина цирков в верхней части варьирует от 0,4 до 2,8 км, глубина от 400 до 700 м. Задние стени цирков круты (40–45°), нередко отвесные, с пилообразной верхней кромкой. К устьюской части цирка стеки его постепенно выпадают (до 20°) и на их поверхности развиты незакрепленные глыбовые осадки.

Денудационные поверхности – встречаются в виде слабо наклоненных (до 6°) площадок ($0,2$ – 4 км 2) среди выплоских поверхностей. Они приурочены к различным абсолютным высотам. Это плоские или слабоволнистые поверхности,

имеющие небольшой уклон в сторону долин, в той или иной степени заболоченные.

Субгоризонтальные поверхности речных долин, созданные деятельностью рек, представлены глыбами террас. Раннечетвертичная поверхность сохранилась в виде останцов (0,8–4 км²) в бассейне р. Мая и на левобережье р. Чогар. Она образована цокольной террасой высотой 80–110 м. Высота уступа террасы 30–50 м, угол наклона 15–25°. Бровка уступа ступенчата. Площадки террас, плоская или слабо расчлененная широкими промоинами и рыхлинами, наклонена в сторону реки (2–4°).

Среднечетвертичная поверхность представлена аккумулятивной и эрозионной террасами высотой 25–30 м, останцы которой (0,6–3 км²) сохранились в долинах рек Мая, Чогар и Джагарма. Прямой или вогнутый уступ террасы имеет высоту 15–20 м, крутизна его колеблется в пределах 10–25°. Поверхность террасы заболочена, поросла угнетенным редколесием.

Ранне-верхнечетвертичная поверхность представлена аккумулятивной террасой высотой 12–15 м, широко развитой в долинах большинства рек и ручьев района, в которых она образует площадки шириной до 1,5 км и протяженностью до 5,5 км. Уступ высотой 3–7 м выражен четко, крутизна его колеблется от 6–8 до 20°, в местах подмытия террасы рекой он обрывистый. Поверхность террасы плоская, режим слабоволнистый, сухая, поросшая высокостоящим лесом. Соединение ее со склоном долины или уступом более высокой террасы плавное.

Поздне-верхнечетвертичная поверхность представлена аккумулятивной террасой высотой 5–7 м и прослеживается в виде площадок шириной от 20 м до 0,9 км вдоль бортов долин рек, прерываясь в местах подмытия берегов. Уступ высотой 2–5 м сравнительно крутой (10–20°), в местах подмытия террасы рекой – обрывистый. Поверхность террасы неровная, расчленена негрубокими (0,5–1,5 м) ложбинами, промоинами, заболоченными старцами.

Современная аккумулятивная поверхность представлена высокой и низкой поймами, развитыми в долинах всех рек. Уступ высокой поймы крутой, часто обрывистый, высота его 1–3 м, поверхность слабоволнистая, расчленена протоками, сухими руслами. К тыловому штуке ее приурочены заболоченные стариные понижения, сухие протоки, озера. Поверхность низкой поймы неровная, бугристая, с большим количеством кос, отмелей, островов и протоков.

Среднечетвертичная ледниковая поверхность развита преимущественно на северных и южных склонах хребтов Майского и Аналского. Площадь ее в отдельных случаях достигает 5–7 км². Это

типичная холмисто-грядовая поверхность морены. Поздне-верхнетретичная ледниковая поверхность развита в высокогорной части хребтов Айансского, Майского, Атаского и их отрогов. Она занимает днища цирков и верховья троговых долин. Площадь ее от 0,2 до 3,5 км². Поверхность морены неровная, грядово-холмистая, вогнутая. В центре ее обычно наблюдаются заболоченные и заполненные водой впадины округлой формы площадью до 0,8 км² и глубиной более 3 м. В днищах троговых долин наблюдается чередование протяженных гряд, разделенных узкими промоинами до 20 м глубиной.

Формирование современного рельефа района началось еще в неогене /2/ и продолжается до сих пор. Вероятно, в раннечетвертичное время была заложена гидросеть, близкая к современной. Наличие в долинах рек до 4–5 уровней террас свидетельствует о том, что воздымание в районе сменялось непрерывительными эпами стабилизации. Интенсивное поднятие происходит и в настоящее время, о чем свидетельствуют усиленная эрозионная деятельность рек, наличие в долинах антecedентных участков и высячих долин мелких водотоков.

ПОЛЕЗНЫЕ ИСКОПАЕМЫЕ

На территории листа известны проявления титаномагнетитовых руд, цветных и редких металлов, редких земель, золота, сиды, горного хрустала. Поиски полезных ископаемых в районе проводились путем шлихового, металлометрического и гидрохимического опробования. На отдельных рудопроявлениях и ореолах рассеяния полезных ископаемых производились поисковые работы в масштабе, близком к 1:25 000 и 1:10 000, сопровождавшиеся детальным металлографическим опробованием деловия, отбором штучных и бороздовых проб, проходкой горных выработок для вскрытия рудных тел.

МЕДИЛЬСКИЕ ИСКОПАЕМЫЕ

Черные металлы

Железо и титан

Проявления титаномагнетитовых руд в районе относятся к двум генетическим типам – осадочно-метаморфогеному и магматогенному.

Осадочно-метаморфогенные руды представлены магнетитовыми кварцитами, слагающими непротяженные (до 40 м) слои (I-4-6 м) на разных стратиграфических уровнях в толще архейских метаморфических пород в бассейнах рек Чогар-Макит (П-1-10, Ш-2-1), Луча (Ш-1-1) и Чогар (Ш-1-2, Ш-1-3, Ш-1-8, ГУ-1-2, ГУ-1-1, ГУ-1-4). Текстура руд полосчато-вкрашенная. Рудные минералы – магнетит, титаномагнетит, ильменит образуют тонкие (1,5-2 мм) мономинеральные полоски и линейно вытянутые гнезда (0,3-1,5 см). Содержание их колеблется от 20 до 60%. Содержание растворимого железа, по данным химического анализа бороздовых проб, составляет 34,84-40,70%, титана – 0,56-0,58%.

Магматогенные проявления представлены рудными пироксенитами, образующими жилогобовые тела в анортозитах Сехтагского массива. Их мощность колеблется от 1,5 (ГУ-2-1) до 24 м (Ш-2-6, Ш-2-8, Ш-2-7, Ш-2-5, Ш-2-4, Ш-2-3), а протяженность достигает 200 м. Большинство рудных тел сгруппировано в узкой (1 км) полосе, вытянутой на 4,5 км в северо-восточном направлении и расположенной в верховьях второго и третьего снизу левых притоков р.Джагармы. Над юго-западным флангом этой полосы аэромагнитной съемкой установлена локальная аномалия интенсивностью +2200 гамм.

Руды обладают вкрапленно-шировой и цементной текстурой, содержат в сумме 20-50% титаномагнетита и ильменита. По данным химического анализа штуфных проб, содержание Fe_{2O_3} в них колеблется от 17,7 до 42,65%, TiO₂ от 7,86 до 20,01%. Спектральным анализом в рудах определены (в %): ванадий (0,005-0,01), хром (до 0,03), никель (0,001-0,005), кобальт (0,001) и фосфор (0,5-5).

Ц в е т н ы е м е т а л л ы

Медь

Проявления меди на территории листа связаны с кварцевыми жилами и участками гидротермально-измененных пород в зонах каркаса.

Кварцевые жилы с вкрапленностью халькопирита, малахита и азурита выявлены на правобережье р.Бол.Чайах (I-1-1), в верхних течениях рек Атаги (I-3-2), Чогара (Ш-1-5) и Джагармы (Ш-2-2, Ш-2-9). Они залягают среди кристаллических сланцев и гнейсов худурканской свиты и джанинской серии, архейских габброидов и анонтозитов. Жилы сложены среднезернистым серым кварцем. Мощность их колеблется от 0,4 до 1,2 м, протяженность достигает несколь-

ких десятков метров. Содержание меди, по данным спектрального анализа штуфных проб, составляет 0,1-0,5%.

Проявление меди на р.Салге (П-4-1) приурочено к зоне (3 м) окварцованных и пиритизированных гранат-биотитовых гнейсов сибирской свиты нижнего протерозоя. Протяженность зоны более 10 м. Оруденение представлено мелкой рассеянной вкрапленностью халькопирита. Содержание меди в штуфных пробах, по данным спектрального анализа, составляет 0,2-0,7%.

Свинец

Галенит в количестве до 50 зерен размером 0,1-0,3 мм на штуф весом 0,8-1,2 кг установлен минералогическим анализом в некоторых маломощных (0,01-1,2 м), непротяженных (до 10 м) кварцевых жилах. Единичные зерна его отмечаются в ряде проб, отобранных из пиритизированных диабазитов и позднепалеозойских (?) гранитов. Содержание свинца во всех этих проявлениях, по данным спектрального анализа штуфных проб, не превышает 0,002%.

Цинк

Рудопроявление цинка на правобережье р.Нимитракай (Ш-3-5) приурочено к выходу (0,3 км²) верхнерусских – нижнемеловых туф в дацитовых порфирах. Туфы почти повсеместно подвержены сульфидной минерализации и содержат редкие шлировидные обособления (0,5-4 см) сфalerита. Суммарное содержание сульфидных минералов (в основном пирита) в туфах колеблется от 3 до 12%. Порядок выделения минералов следующий: галенит, пиротин, халькопирит, сфалерит, пирит, мельниксит, марказит, борнит. По данным спектрального анализа 140 штуфных и 10 бороздовых проб, содержание цинка в гидротермально-измененных туфах колеблется от 0,05 до 0,2%. В единичных пробах отмечается синец (0,003-0,01%), медь (0,005%), золото (0,02 г/т).

По данным металлометрического опробования донных осадков, в бассейне правого притока р.Бол.Чайах оконтурен ореол (1-1-2) рассеяния цинка и синца. На площади ореола (15 км²) распространены поздненижнемеловые гранодиориты, прорывающие кристаллические сланцы, мраморы и кальцифиры худурканской свиты архея. Содержание цинка в пробах 0,01-0,3%, синца – 0,001-0,003%.

Редкие металлы и рассеяние элементы

Элементы

Молибден

Шлиховые ореолы рассеяния молибдена в бассейнах р.Утанах (П-1-1) и руч.Биракан-Дули (П-4-3), на левобережье р.Нимнайской (ПУ-3-1) приурочены к эндо- и экзоконтактам интрузий ранне-, нижне- и поздненижнекемеловых интрузий гранитоидов, в бассейне р.Ванги (П-3-4) — к гнейсам сиваканской свиты нижнего протерозоя, в верховье руч.Лев.Шавлицкий — к анортозитам Сехтатского массива. Содержание молибдена в шлихах колеблется от 1 до 50 зерен размером 0,03-0,3 мм на 0,02 м³ промытой породы. Источником выноса молибдена являются гидротермально-измененные породы и кварцевые жилы, встречающиеся в пределах упомянутых выше ореолов и содеркации, по данным минералогического анализа, до 40 зерен молибдена на штуф весом 0,8-1,2 кг. Молибденит присутствует в виде тонкой вкрапленности. Содержание молибдена, по данным спектрального анализа, не превышает 0,02%. Единичные зерна молибдена встречаются в шлихах из аллювия большинства рек района.

Волффрам

Шеелит в количестве до 80 зерен размером 0,05-0,2 мм присутствует во многих шлихах из аллювия водотоков, размывающих архейские метаморфические и интрузивные образования. Источником выноса шеелита являются, по-видимому, гидротермально-измененные породы и кварцевые жилы, в большинстве штуфных проб из которых минералогическим анализом установлено присутствие шеелита. Однако спектральным анализом волффрам в этих породах не обнаружен.

Ртуть

Киноварь в количестве от 3 до 7 зерен встречена в шести шлихах, отобранных в среднем течении р.Нимнайской и в верховье руч.Верхн.Элкан. Источники выноса киновари неясны.

Висмут

Висмутин и базовисмутит в количестве 2-3 зерен встречены в двух шлихах в верхнем течении р.Салани. Источником выноса этих

минералов являются кварц-молибденитовые жилы молибденового рудоуправления, известного в верховье р.Салани на смежной с севером территории /29/.

Редкие земли

Редкоzemельная минерализация на территории листа приурочена преимущественно к эндо- и экзоконтактам маломощных (до 8 м) тел архейских амаскитовых гранитов и пегматитов, в которых встречаются гнездообразные участки размером от 0,1 до 0,6 м в поперечнике, обогащенные монацитом, цирконом, фергусонитом. Аналогичная минерализация отмечается, кроме того, в породах нижнего протерозоя, подвергенных кремне-калиевому метасоматозу, на р.Мae и в бассейне р.Ванги. По данным спектрального анализа, в штуфных пробах, отобранных из гнезд, обогащенных редкоzemельными минералами, содержится (%): лантан до 0,1-3, церий — 0,3-2, торий — 0,1-0,5, иттрий — 0,003-0,5, итербий — 0,0001-0,0003, ниобий — 0,01-0,2, цирконий — 0,05-1. Суммарное же содержание редких земель не превышает 3%.

В бассейне верхнего течения р.Аты оконтурен шлиховой ореол рассеяния фергусонита (1-3-1), приуроченный к южной краевой части Кун-Маныенского массива габброидов, прорванного здесь жилами архейских амаскитовых гранитов и пегматитов. В пределах ореола единичные зерна фергусонита содержатся в 30 шлихах. Монацит и циркон в количестве единичных зерен встречены во многих шлихах из всех водотоков района.

Благородные металлы

Золото

На территории листа обнаружено три проявления коренного золота и семь шлиховых ореолов рассеяния его.

Проявление золота на правом берегу долины р.Мai (П-2-1) приурочено к зоне пиритизированных диафторитов. Здесь в береговом обрыве в интервале 200 м обнаружены рассланцованные мраморы и кварц-альбит-эпидот-хлоритовые сланцы, образовавшиеся в результате диафтореза в фации зеленых сланцев пород хуудруканской свиты архея. В диафторитах отмечается мелкая рассеянная вкрапленность и гнезда (0,6 см) пирита, секущие и согласные со сланцевостью пород прожилки (0,5-10 см) темно-серого сливного кварца, иногда с редкой вкрапленностью пирита, галенита и халь-

копирита. В штучных пробах, отобранных с интервалом 25-50 м, спектральным анализом установлено от 0,1 до 3 г/т золота. Самородное золото во всех пробах отсутствует.

Проявление золота в бассейне руч. Прав. Шавликий (Ш-3-3) связано с кварцевой жилой мощностью 1,4 м, залегающей согласно сланцеватостью миллиметрованных амортозитов в зоне разлома северо-восточного простирания. Жила сложена мелкозернистым белым кварцем, содержащим рассеянную вкрапленность, гнезда (до 0,6 см) и мономинеральные ветвящиеся прожилки (0,5-5 см) пирита. По данным спектрального анализа, содержание золота в штучной пробе кварца составляет 10 г/т, а в мономинеральной фракции пирита - 20 г/т.

В сходной геологической обстановке находится проявление золота на левобережье р. Нимняркай ниже устья р. Аныкан (ГУ-3-1).

Здесь кварцевая жила мощностью 18 см и видимой протяженностью 8 м залегает среди брекчированных в широтной зоне разлома габро-амортозитов Сехтагского массива. Кварц серого цвета, сливкой, ноздреватый, содержит редкие гнезда (до 1 см) пирита и халькопирита. Содержание золота в штучной пробе, по данным спектрального анализа - 20 г/т, серебра - 0,007%, меди - 0,1%. Самородное золото в пробе не обнаружено.

Кроме того, золото (0,01-0,03 г/т) установлено спектральным анализом во многих штучных пробах, отобранных в разных частях района из гидротермально-измененных докембрийских и мезозойских пород и жильного кварца. Золоторудные проявления на территории листа являются гидротермальными и генетически связанными, по-видимому, с меловыми интрузиями.

Россыпные месторождения золота в районе неизвестны. По данным К.В. Прохоровского /32/, в аллювии р. Эдигу-Чайдах, ручьев Амнус-кан и Микитик "на глубине 10-12 четвертей в красных песках есть хорошие знаки золота". Более точные данные о золотоносности этих рек отсутствуют.

Шлиховым опробованием гидросети золота в количестве от 1 до 34 зерен на 0,02 м³ промытой породы установлено в бассейнах рек Большой Чайдах, Чогар, Нимняркай, руч. Шавликий и др. Оно постоянно отмечается также в отложениях первой и второй надпойменных террас рек Мая, Чопар, Джалгарма и Нимняркай.

Шлиховой определением рассеяния в верхнем течении р. Салги (I-4-1) приурочен к контакту Чалбук-Яконского массива ранненижнемеловых гранодиоритов с архейскими габброродами и эфузивами джелонской свиты. В пределах определения единичные знаки золота содержатся в

15 шлихах. Габбророды на интервалах до 300 м интенсивно пиритизированы и, по данным спектрального анализа, содержат до 0,01 г/т золота.

Шлиховые определения рассеяния в бассейне руч. Прав. Шавликий (Ш-4-1), в верховье р. Лев. Нимняркай (Ш-4-2) и в верховье шестого снизу левого притока р. Чогар (ГУ-1-3) приурочены к амортозитам и габро-амортозитам Сехтагского массива, прорванным дайками архейских диабазов, меловых гранодиорит-порфиров и диоритовых порфиритов. На площадях этих определений амортозиты и дайковые диабазы в зонах рассланцевания и брекчирования северо-восточного и северо-западного простирания часто пиритизированы, окварцированы, эпидотизированы и карбонатизированы. В гидротермально-измененных породах содержится, по данным спектрального анализа штучных проб, до 0,01 г/т золота (Ш-4-1).

Шлиховые определения рассеяния в бассейне левого верхнего притока (Ш-1-7) и на левобережье р. Чогар (Ш-1-4) приурочены к дифторированным метаморфическим породам Джанинской серии архей. В пределах этих определений диабориты слабо и неравномерно пиритизированы и окварцированы. Здесь же часто встречаются глыбы (до 1,5 м) жильного кварца без видимой минерализации.

Шлиховой определение рассеяния на р. Чогар (ГУ-1-5) приурочен к восточному контакту Чинтакинского массива позднепалеозойских (?) гранитов с архейскими амортозитами. Золото в количестве 1-3 зерен на 0,02 м³ промытой породы содержится в II шлихах.

НЕМЕТАЛЛИЧЕСКОЕ ИСКОПАЕМЫЕ

Слюды

На территории листа обнаружено 26 проявлений мусковита. Они приурочены к пегматитовым жилам, пространственно и генетически связанным с интрузиями раннепротерозойских дунитидных

гранитов и плагиогранитов. Большинство жил мусковитовых пегматитов сконцентрировано в узкой (2-6 км) полосе, протягивающейся в широтном направлении от истоков р. Эдигу-Чайдах до р. Амнускан на расстояние 40 км. Жили мусковитовых пегматитов залегают преимущественно среди гранат- и эпидотодержащих биотитовых гнейсов Куманской свиты. Сравнительно редко они наблюдаются среди гранат-дуспидитов (I-3-5, II-2-2, II-2-8), гранат-рогово-обманковых (II-3-1), биотит-роговообманковых (II-3-2, II-3-3) гнейсов сиваканской свиты, амфиболитов (II-1-2), биотитовых (II-1-4, II-1-7) гнейсов лавлинской свиты и раннепротерозойских плаги-

гранитов (I-3-3, I-3-4). Они представляют собой согласные, реже секущие (П-3-3, П-1-2) линзо- и плитообразные тела мощностью от 0,15 до 3,5 м, редко до 20 м (П-4-5) и протяженностью до нескольких десятков метров. Жилы с однородным строением содержат мелкие (до 1 см) чешуи мусковита, на фоне которых строидически встречаются обособленные кристаллы слюды размером от 1,5х1,2х1,2 см до 14х8х6 см, составляющие 2-10% объема породы (I-3-3, I-3-5, П-2-2, П-3-1, П-3-3). В жилах зонального строения, во внутренних частях которых обособлены зоны (0,15-0,5 м) или цепи гнеяд (0,15 м), состоящие из блоков кварца, полевых шпатов и крупных (6х6х3 - 14х15х8 см) кристаллов мусковита, содержание слюды составляет 10-15%. Во всех проявлениях мусковит окрашен в зеленый цвет. Он слагает таблитчатые и пластинчатые кристаллы неправильных и псевдотексагональных очертаний, обычно разбитые двумя системами трещин. Расщепляемость слюды хорошая. Выход деловой слюды из общего количества слюда-сырца составляет ориентировочно от 5 до 25%. Деформации подвержены кристаллы мусковита в проявлениях, расположенных в междуречье Атаги и Мам. Судя по данным изучения слюды из аналогичных пегматитовых жил на прилегающей к востока территории, диэлектрические свойства мусковита соответствуют характеристикам конденсаторной высокочастотной слюды /30/. Блоки калиевых полевых шпатов редки, поэтому они не могут служить источником для получения керамического сырья.

Гранит

Гранит присутствует в качестве породообразующего минерала в графитсодержащих гранатовых и биотитовых гнейсах суглинской свиты и джавинской серии архей. Мощность слоев и пачек гранита-содержащих гнейсов варьирует от 5 до 40 м. Содержание равномерно рассеянного мелкочешуйчатого (1-4 мм) гранита в породах колеблется от 1 до 5%, редко до 10%.

СТРОИТЕЛЬНЫЕ МАТЕРИАЛЫ

Графит присутствует в качестве породообразующего минерала в графитсодержащих гранатовых и биотитовых гнейсах суглинской свиты и джавинской серии архей. Мощность слоев и пачек гранита-содержащих гнейсов варьирует от 5 до 40 м. Содержание равномерно рассеянного мелкочешуйчатого (1-4 мм) гранита в породах колеблется от 1 до 5%, редко до 10%.

Специального изучения разнообразных изверженных и метаморфических пород района с целью применения их в промышленном и гражданском строительстве не проводилось.

В качестве бутового камня в строительном и дорожном деле могут быть использованы позднепалеозойские (?) и мезозойские граниты и гранодиориты, которые в значительных количествах при-

сутствуют в любой части территории листа. Эти гранитоиды образуют монолиты размером до 2х4х3 м во всех массивах и обладают мелко- и среднезернистым сложением, массивной текстурой и слабой трещиноватостью, отвечают требованиям к бутовому материалу и шебню для дорожного строительства. Крупные (до 200 м³) монолиты образуют анортозиты Сехташского массива. Они часто содержат иризирующие пластины, имеют приятный розовый и розово-серый цвет и могут быть использованы как поделочный и облицовочный камень.

Мраморы и кальцифиры, широко развитые в северо-западной части района, обычно трещиноваты, и возможности использования их в качестве облицовочного материала ограничены. На р.Мве часто встречаются мраморы нежно-розового, кремово-желтого и белого цвета, которые, по-видимому, пригодны для мелких скульптурных поделок. Судя по данным химических анализов аналогичных мраморов и кальцифира на сопредельных территориях /18,34/, они могут быть использованы для производства известки.

Песок и гравий широко распространены среди современных отложений рек района. Галька и гравий имеют различную величину, хорошо окатаны. Пески разнозернистые, неотсортированные, мощность их достигает 4 м. Пески и гравий могут употребляться как наполнитель для бетона и в дорожном строительстве.

Запасы строительных материалов на территории листа значительные и они могут быть использованы при строительстве дорог и промышленных сооружений в процессе экономического освоения района.

ОПТИЧЕСКИЕ МАТЕРИАЛЫ

Пьезокварц

Проявление пьезокварца обнаружено в верхнем течении р.Чогар (Ш-1-6). Здесь в аллювиальных руслах встречен обломок монокристалла горного хрусталия размером 20х20х25 см. Кристаллографических очертаний в нем не сохранилось, в краевых частях он разбит многочисленными трещинами. Горный хрусталь бесцветен, совершенно прозрачен, без газовых и газово-жидких включенияй. По заключению минералого-петрографической лаборатории ДГПУ, по оптическим свойствам он может рассматриваться как пьезооптическое сырье. В бассейне верхнего течения р.Чогар развиты диагенитизированные биотитовые, роговобиомиктово-биотитовые гнейсы, амфиболиты джавинской серии архей и архейские альбигравитные граниты, прорванные интрузией раннепротерозойских двуслюдистых плагиогранитов. На обоих

бортах долины р. Чогар близ места находки обломка монокристалла на площади около 10 км² широко развиты глибовые развалины жилья-кварца. Реже встречаются кварцевые жилы мощностью до 1,5 м и протяженностью около 60 м. Кварц молочно-белый, волнисто-прозрачный и дымчатый. В зальбандах жил обычно обособлены зоны (5–8 см) и гнезда (10 см) шестоватого бесцветного прозрачного кварца с размером отдельных реек резко удлиненных индивидов до 3 см по длинной оси. Изредка в кварцевых глыбах встречаются пустоты (до 3–4 см), содержащие кристаллы длиной до 1,5 см горного хрусталия, что, наряду с присутствием шестоватого кварца, по существующим представлениям, является одним из основных признаков хрусталиеносности кварцевых жил. Вопрос о генезисе и возрасте хрусталиеносных жил в районе трудно решить однозначно. Пространственно они тяготеют к северной краевой части массива раннепротерозойских двуслюдянных плагигранитов. Однако в зоне Становика – Джуруктура кварцевых жил, достоверно генетически связанных с аналогичными интрузиями, не известно. В некоторых кварцевых жилах в верховье р. Чогара встречается рутиловая минерализация (пирит, халькопирит, молибденит), характерная в основном для мезозойских гидротермальных кварцевых жил. Это позволяет предположить, что и становление хрусталиеносных жил связано с гидротермальными фазами мезозойских интрузий.

ПОДЗЕМНЫЕ ВОДЫ

Условия залегания, режим и питание подземных вод района в значительной мере зависят от повсеместно развитой многолетней мерзлоты. Она обуславливает развитие в районе надмерзлотных, междумерзлотных и подмерзлотных подземных вод, среди которых по геологическим условиям питания выделяются пластово-поровые воды элювиально-делювиальных, аллювиальных и ледниковых отложений, трещинные и трещинно-жильные воды кристаллических образований.

Водоносный горизонт элювиального в зоне залегания мерзлоты. Она обуславливает развитие в районе надмерзлотных, междумерзлотных и подмерзлотных подземных вод, среди которых по геологическим условиям питания выделяются пластово-поровые воды элювиально-делювиальных, аллювиальных и ледниковых отложений, трещинные и трещинно-жильные воды кристаллических образований.

Водоносный горизонт элювиального в зоне залегания мерзлоты. Она обуславливает развитие в районе надмерзлотных, междумерзлотных и подмерзлотных подземных вод, среди которых по геологическим условиям питания выделяются пластово-поровые воды элювиально-делювиальных, аллювиальных и ледниковых отложений, трещинные и трещинно-жильные воды кристаллических образований.

Водоносный горизонт элювиального в зоне залегания мерзлоты. Она обуславливает развитие в районе надмерзлотных, междумерзлотных и подмерзлотных подземных вод, среди которых по геологическим условиям питания выделяются пластово-поровые воды элювиально-делювиальных, аллювиальных и ледниковых отложений, трещинные и трещинно-жильные воды кристаллических образований.

Надмерзлотные и **подмерзлотные** подземные воды. Водоупором для них служит верхняя поверхность многолетней мерзлоты. Питание происходит за счет атмосферных осадков и частично за счет таяния мерзлоты. Водоизмещение породы представлены щебнем и суглинками мощностью до 2 м. Выходы вод на поверхность приурочены к подножиям и перегибам склонов. Вода в источниках с debitами 0,1–0,3 л/с обычно прозрачна, без запаха и вкуса, бесцветная или слабо желтоватая, мягкая (жесткость 0,28–0,5 мг·экв/л), слабо минерализованная (сухой остаток менее 53 мг/л). Реакция слабокислая или нейтральная ($pH = 5,6$ –6,8). Содержание свободного CO_2 составляет 6,8–24 мг/л. По химическому составу воды гидрокарбонатные кальциево-магниевые и сульфатно-гидрокарбонатные кальциево-магниевые. В источниках, вскрытых горными выработками, debit достигает 1–1,5 л/с. Воды мутные, с землистым запахом. Их температура равна 10–12° при температуре воздуха около 25°.

Водоносный горизонт элювиального в зоне залегания мерзлоты. Она обуславливает развитие в районе надмерзлотных, междумерзлотных и подмерзлотных подземных вод, среди которых по геологическим условиям питания выделяются пластово-поровые воды элювиально-делювиальных отложений, поверхности и в уступах террас встречаются родники с debitом 0,01–0,5 л/с. Вода прозрачна, без запаха и вкуса, желтоватого цвета, мягкая (жесткость 0,12–0,39 мг·экв/л), слабо минерализованная (сухой остаток 15,5–25 мг/л). Концентрация водородных ионов в ней составляет 5–6,4. Содержание свободного CO_2 составляет 4,6–26,6 мг/л. По химическому составу воды относятся к гидрокарбонатному кальциево-магниевому. Горный характер рельефа, небольшая мощность аллювиальных и ледниковых отложений, широкое развитие многолетней мерзлоты создают неблагоприятные условия для накопления значительных запасов подземных вод в них. Среди отложений высокой поймы и в моренах встречаются линзы и прослои (0,02–0,7 м) прозрачного льда, представляющие собой, по-видимому, междумерзлотные пластово-поровые воды в твердом состоянии.

В метаморфических, интрузивных и вулканогенных образованиях района распространены трещинные и трещинно-жильные надмерзлотные трещинные воды, встречаются в районе очень часто. Они представляют собой нисходящие распределенные родники, приуроченные к подножиям скальных обрывов. Дебит их составляет 0,05–0,3 л/с. Столь же часто встречаются родники трещинно-жильных подземных вод, приуроченные к разрывным нарушениям, зонам карстации и рассланцевания. Так, интенсивно обводнены зоны рас-

стационарного вдоль Майского, Станового, Улыхнского разломов, среди которых встречены многочисленные кислородные родники с дебитом 0,2-3 л/с. Очевидно, постоянным притоком подземных вод в зимнее время обусловлено наличие в долинах многих рек района протяженных (2-8 км) наследий, мощность льда в которых составляет 2-4,5 м. Во всех наблюдавшихся источниках трещинные и предварительно-жильные подземные воды имеют одинаковые физические и химические свойства, независимо от состава и генезиса водовмещающих пород. Они прозрачные, без запаха и вкуса, бесцветные, мягкие (жесткость 0,06-0,17 мг·экв/л). Концентрация водородных ионов составляет 5,2-6,4, сухой остаток - 16-24 мг/л. Содержание свободного CO₂ колеблется от 4,4 до 25,7 мг/л. По химическому составу воды гидрокарбонатные кальциевые и гидрокарбонатные кальциево-магниевые.

Таким образом, на территории листа большинство водоносных горизонтов не могут рассматриваться в качестве крупных источников водоснабжения промышленных объектов в зимнее время. Возможно, что для этих целей пригодны подмерзлотные трещинно-жильные воды. В легкий же период для водоснабжения могут использоватьсь поверхностные воды рек и ручьев.

ОЦЕНКА ПЕРСПЕКТИВ РАЙОНА

Полезные ископаемые района сформировались в три минералогические эпохи, соответствующие во времени трем этапам геологической истории его: архейскому, протерозойскому и мезозойскому. С архейской минералогической эпохой связано формирование проявления железа и титана, редких земель, с протерозойской - слюды, редких земель, с мезозойской - золота, полиметаллов, меди, молибдена и, по-видимому, горного хрусталя.

Осадочно-метаморфические и магматические проявления железа и титана не представляют практического интереса из-за незначительной мощности и протяженности рудных тел, а отсутствие в районе значительных магнитных аномалий позволяет отрицательно оценить перспективы его на обнаружение промышленных месторождений титаномагнетитовых руд.

Проявления полиметаллических руд и меди на территории листа относятся к гидротермальному типу. Поскольку масштабы гидротермальной медной и полиметаллической минерализации, приуроченной в основном к узким зонам катаклаза северо-восточного простирания, в районе неизвестны, перспективы его на гидротермальные месторождения полиметаллических руд и меди оцениваются отрицательно.

По геологическим предпосылкам и поисковым признакам в районе имеются благоприятные условия для формирования склоновых месторождений свинца и цинка. Так, в бассейне правого притока р. Бол. Чайах близ западной границы листа в пределах выявленного здесь металлометрического ореола рассеяния свинца и цинка интрузия раннемеловых гранодиоритов прорывает кристаллические сланцы, мраморы и кальцифиры худутканской свиты. Вдоль западного контакта этой интрузии на сопредельной территории обнаружено перспективное полиметаллическое скарновое проявление свинца и цинка /34/, что позволяет рекомендовать эту площадь для постановки поисковых работ масштаба 1:50 000.

Мolibденовая минерализация тяготеет к экзо- и эндоконтактам меловых интрузий гранитоидов. Наличие в районе шлиховых ореолов рассеяния молибдена, широкое развитие интрузий горнодобывающего Джульджурского комплекса и позднемеловых лейкократовых гранитов, являющихся в зоне Становика - Джульджаура молибденосными, проявление гидротермальной молибденовой минерализации свидетельствует о перспективности площади на молибден. Однако при современной степени изученности ее не представляется возможным наметить конкретные участки для постановки поисковых работ.

Рудопроявления золота с наиболее высокими содержаниями металла (10-20 г/т) приурочены к маломощным (до 1,4 м) квартцево-сульфидными жилами. Эти проявления недостаточно изучены для оценки их перспектив и на них необходимо провести дополнительные исследования и отработку с применением поверхностных горных выработок. В окрестностях этих проявлений встречаются многочисленные разломы и локальные зоны катаклаза северо-восточного и субширотного простирания, к которым могут быть приурочены золотоносные кварцевые жилы. В шлиховых пробах, отобранных в северном алювиум рек Сехтаг, Шавлиций, Нимиркай, часто присутствует золото. Таким образом, по геологическим предпосылкам и поисковым признакам площадь, охватывающая бассейны рек Шавликий, Сехтаг и частично Нимиркай, перспективна на рудное золото и может быть рекомендована для постановки поисково-съемочных работ масштаба 1:50 000. Некоторые исследователи /12/ связывают золотоносность зоны Становика - Джульджаура с диафторированными породами. В зоне Станового глубинного разлома золото обнаружено лишь в окварцованных и пиритизированных диафторитах на р. Маэ. В окрестностях этого проявления необходимо провести поиски и опробование диафторитов с целью уточнения масштабов золоторудной минерализации. Диафторированные породы краевой части Чагарской

глыбы, по-видимому, бесперспективны на рудное золото из-за весьма незначительных масштабов сульфидной минерализации в них. Этот вывод подтверждается отрицательными результатами массового опробования диграфоритов по рекам Чогар и Чогар-Макит.

Золотоносность аллювия большинства рек района изучена слабо. Единичные поисковые линии буровых скважин и шурпов пройдены лишь в долинах рек Наму и Нимиркай /36/, в которых в ряде случаев установлено содержание золота до 60 мг/м³ песков. С геологических и геоморфологических позиций долины рек Наму, Нимиркай, Чогар, Эдяту-Чайдах в целом благоприятны для формирования россыпей. В бассейнах этих рек проявлено гидротермальная минерализация, иногда с признаками золотого оруднения. Реки имеют сравнительно широкие долины со зреями формами рельефа; в широко развитых русловых и пойменных отложениях шлиховым отработанием частично устанавливается присутствие золота. Исходя из этого участки, благоприятные для формирования и сохранения россыпей золота, намечаются в долинах нижнего течения р.Наму, р.Нимиркай – на интервале от устья р.Анаикан до южной границы района, р.Чогар – в пределах шлихового ореола рассеяния золота, р.Эдяту-Чайдах – близ устьев ручьев Амгускан и Микитик, где, по мнению К.В.Гровского /32/, золотоносность аллювия возрастает с глубиной. Возможные типы россыпей здесь – пойменные, косовые.

Редкоzemельная минерализация на территории листа приурочена к архейским ультраметаморфическим гранитам, пегматитам и зонам раннетретерозойского кремне-кальевого метасоматоза. Минерализация первого типа, по-видимому, бесперспективна из-за мелкогнейзового характера проявлений и низких содержаний в них полезных компонентов. Более перспективной представляется раннепротерозойская метасоматическая минерализация. В породах из зон кремне-кальевого метасоматоза в бассейне р.Ванга и на р.Мае часто отмечаются повышенные содержания (до 3%) редких земель, в связи с чем плодадь, охватывающая междууречье Маи – Ванги, рекомендуется для постановки поисково-съемочных работ масштаба 1:50 000.

Мусковитоносные пегматитовые жилы широко развиты среди непротерозойских образований района. Особенно многочисленны они в полосе выхода город Куланская свиты в бассейнах рек Эдяту-Чайдах, Чогар-Макит и руч.Микитик. В этой полосе широко развиты некрупные пластовые тела раннетретерозойских двуслюдянных гранитов, с которыми связаны слюдоносные пегматиты. Пегматиты, в том числе и мусковитовые, образуют в районе сравнительно мощные (до 20 м) зональные жилы в ядрах небольших (до 200 м) складок и вдоль

контактов мощных однородных пачек метаморфических пород. Такие складки и мощные пачки пород характерны в основном для кумманской свиты. В сиваканской и лавлинской свитах тонко переслаивающиеся породы смыты обычно в мелкие (до 10 м) складки и в них локализованы, хотя и многочисленные, но малоносные (до 1 м) нелифлерен-

цированные жилы пегматитов с невысоким содержанием мусковита.

Учитывая эти данные, а также широкое развитие пегматитов в бассейнах рек Эдяту-Чайдах, Чогар-Макит и руч.Микитик, перспективы этой площади на мусковит оцениваются положительно. Здесь рекомендуется провести поиски масштаба 1:25 000. Перспективность остальной части района на слюду недостаточно ясна. В бассейнах рек Ванти, Салти и на р.Мае известны слюдоносные пегматиты, но мусковит во всех проявлениях в той или иной степени деформирован.

Широкое развитие в верхнем течении р.Чогар жильного кварца с признаками хрустальноносности и находка крупного обломка монокристалла, отвечающего по своим физическим свойствам высшим стандартам горного хрустала, позволяют считать бассейн верхнего течения р.Чогар перспективным на пьезокварц. Геологическая обстановка здесь в целом благоприятна для формирования хрустальноносных погребов, так как среди архейских пород преобладают гнейсы с высоким (до 30%) содержанием кварца. На этой площади рекомендуется проведение специализированных поисков.

Таким образом, на основании анализа геологических структур и признаков рудной минерализации на территории листа могут быть выделены следующие рудноносные площади (рис.3).

Рудноносная приподнявшаяся А-П в бассейнах рек Эдяту-Чайдах, Чогар-Макит и руч.Микитик перспективна на слюду. Здесь требуется постановка поисковых работ масштаба 1:25 000 с применением поверхностных горных выработок и геофизической разведки.

Плодадь А-П, на которых в благоприятной геологической обстановке имеются признаки рудной минерализации, выделены в верховье р.Чогар (на горный хрусталь), на правобережье р.Бол.Чайдах (на полиметаллические руды), в междууречье Маи – Ванги (на редкие земли), в бассейне рек Нимиркай, Шавликий и Сехтах (на золото). Они рекомендуются для постановки поисков и геологической съемки масштаба 1:50 000. Остальная часть территории листа отнесена к недостаточно изученной площасти Б, к уже обследованной с непромышленным оруднением площасти В-1 и к площасти В-П, геологическое строение которой, по известным в настоящее время данным, не благоприятно для промышленной концентрации рудных элементов. На перспективных площадях А-П и А-П рекомендуется проведение геологической съемки масштаба 1:50 000 первой очереди, а на недос-

таточно изученной площади Б – второй счери с применением дополнительного шлихового и металлометрического опробования.

ЛИТЕРАТУРА

ОПУБЛИКАНИЯ

1. Бельтев Е.В., Лебедев Е.Л. Новые данные о возрасте вулканогенных образований Западного Приохотья. – Докл.АН СССР, т.182, 1968, № 2.

2. Гамалея Ю.Н. Государственная геологическая карта СССР масштаба 1:200 000, серия Джугджурская, лист N-53-1. М., 1969.

3. Гиммельфарб Г.Б., Белоножко Л.Б., Забродин В.В. и др. Государственная геологическая карта СССР масштаба 1:200 000, серия Становая. Лист N-52-У1. М., 1969.

4. Геохронология докембрия Сибирской платформы и ее складчатого обрамления. "Наука", 1963.

5. Глебовицкий В.А., Другова Г.М., Крылов М.Д. и др. Последовательность геологических процессов в южном обрамлении Алданского щита и геохронологические данные. – В кн.: Абсолютный возраст докембрийских пород СССР. "Наука", 1965.

6. Головко С.В. Карта аномального магнитного поля и карта графиков ДГ территории листа N-53-У1, 1962.

7. Дзевановский Ю.К. Геология западной окраины Станового хребта. – Бюл.ВСЕГЕИ, № 1, 1959.

8. Другова Г.М., Неволин А.Н. Полиметаморфизм докембрийских образований южной части Алданского щита и Станового хребта. – Тр.ДАГЕЦ АН СССР, вып. II, 1961.

9. Зубков В.Ф. Государственная геологическая карта СССР, серия Джуатурская. Лист N-53-У1. Госгеотехиздат, 1962.

10. Казмин Ю.В. Становой глубинный разлом, его развитие и влияние намагматизм и метаморфизм. – Тр.ВАГТ, вып.8, 1962.

11. Казмин Ю.В., Филиппович И.З., Гиммельфарб Г.Б. Новые данные по стратиграфии архея юго-восточной части Алданского щита. – Тр.ВАГТ, вып.8, 1962.

12. Коржинский Д.С. Докембрий Алданской плиты и хребта Станового. "Стратиграфия СССР", т.1. Изд.АН СССР, 1939.

13. Коржинский С.П. О возрасте метаморфических пород западной части Станового хребта. – Тр.Вост.-Сиб.геол.-ин-та АН СССР, серия геол., вып.5, 1962.

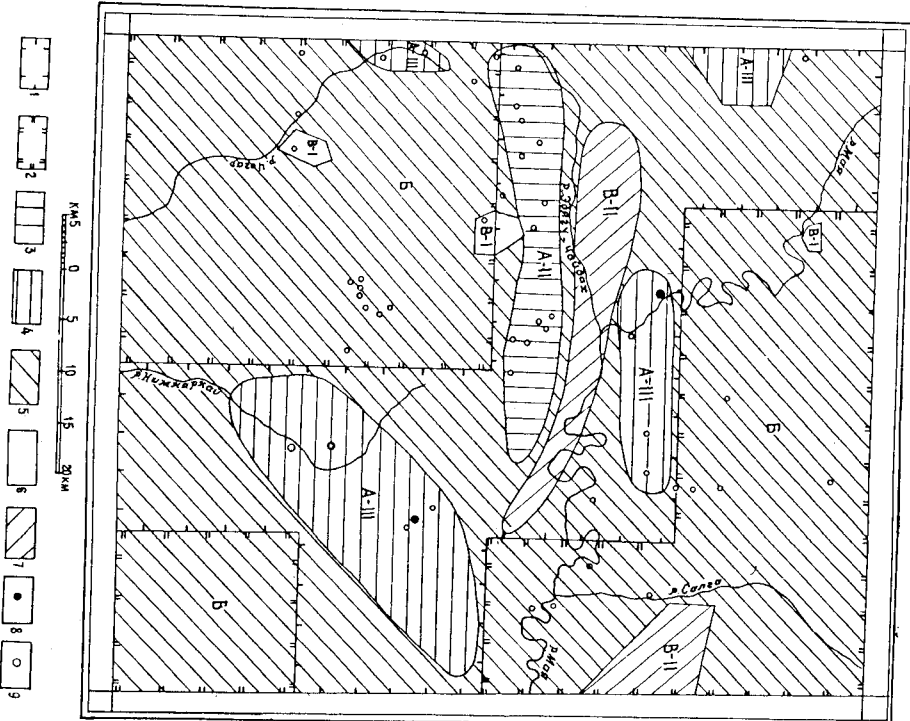


Рис.3. Схема прогнозной оценки района

площади, рекомендуемые для постановки геологической съемки масштаба 1:50 000: 1 – первой очереди, 2 – второй очереди; площади, перспективные для выявления месторождений полезных ископаемых; 3 – площади А-І выхода русломещающих город и благоприятных структур с признаками оруднения, 4 – площади А-ІІ выхода рудовмещающих пород и благоприятных структур с редкими находкамирудной минерализации; 5 – площади Б, недостаточно изученные для определения их промышленных перспектив и рекомендуемые для дополнительного шлихового, металлометрического опробования; 6 – площади, не требующие постановки поисковых работ; 6 – площади В-І уже обследованые, на которых рудопроявления изучены и получены отрицательные результаты, 7 – площади В-ІІ, геологическое строение которых, по известным в настоящее время данным, неблагоприятны для промышленной концентрации рудных элементов; прочие знаки: 8 – недоказанные промышленные проявления с применением дополнительного опробования; 9 – незначительные проявления выработок, 9 – незначительные проявления

14. Краснай Л.И. Объяснительная записка к листу N-53 (Шамгарские острова). Госгеолтехиздат, 1955.

15. Леников А.М. Петрология Джугджурского антиконтактового массива. "Наука", 1968.

16. Мельников М.П. Описание Якутской экспедиции (1851 г.) покойного горного инженера Н.Г. Меглицкого, составленное по его отчетам, дневникам и коллекциям. - Горный журнал, № 7-8, 1893.

17. Мощкин В.Н. Докембрий. Хребты Становой и Джуг-

джур. - В кн.: Геологическое строение СССР, т.3. Госгеолтехиздат, 1958.

18. Мощкин В.Н., Шпак Н.С. Раннедокембринские метаморфические образования восточной части хр. Станового и южной части хр. Джугджура. - В кн.: Докембрий восточных районов СССР. - Тр. ВСЕГЕИ, нов.серия, т.122, 1967.

19. Мощкин В.Н., Дагелая И.Н., Зленико Н.Д. Раннедокембринские интрузивные образования хр. Джугджура и восточной части хр. Станового. - В кн.: Докембрий восточных районов СССР. - Тр. ВСЕГЕИ, нов.серия, т.122, 1967.

20. Рассказов Ю.П. Стратиграфия нижнего протерозоя хребтов Станового и Тукумингра. Автореф. дисс. на соиск. степ. канд. 1966.

21. Рудник В.А. О проявлениях ультраметаморфизма и анатексиса в юго-восточной части Алданского щита. - В кн.: Докембрий восточных районов СССР. - Тр. ВСЕГЕИ, нов.серия, т.59, 1961.

22. Судовиков Н.Г., Небелов А.Н. О возрасте станового комплекса. - Тр. ЛАГЕД АН СССР, вып. 12, 1961.

23. Тернер Ф.Дж. Пересмотр метаморфических фаций. В кн.: Физико-химические проблемы формирования горных пород и руд, т.1. Изд. АН СССР, 1961.

24. Пиханов В.З. Государственная геологическая карта СССР масштаба 1:200 000, серия Джугджурская, лист N-53-Ш. Госгеотехиздат, 1962.

25. Пиханов В.З. Государственная геологическая карта масштаба 1:200 000, серия Джугджурская, лист N-53-П. Госгеолтехиздат, 1963.

Фондохранилище

26. Анносов Н.П. Рапорт о работе Амурской поисковой партии в верховых реки Мам и Уды. 1958, № 652.

27. Бернштейн П.С. Геологический очерк средней части бассейна р.Уд. 1936, № 03455.

28. Брагинский С.М. Государственная геологическая карта СССР масштаба 1:200 000, серия Удская, лист N-53-Ш. 1967, № 0327.

29. Василькин А.Ф., Григорьев В.Б., Гончаров В.В., Дордзик Е.И. Геологическое строение и полезные ископаемые бассейнов верхних течений рек Мам и Чогара. 1970, № 014073.

30. Годлевич Б.Л. и др. Геологическое строение и полезные ископаемые бассейна среднего течения р. Мам-Половинной. 1970, № 0491.

31. Гончаров В.Н., Козырева И.В., Лавашук В.П. Геологическое строение и полезные ископаемые бассейнов рек Немерикан и Туткакан. 1970, № 0454.

32. Гроховский К.В. Отчетные материалы по поисково-разведочным работам, проведенным экспедицией ВАЗГ в бассейне р. Уда с 1909 по 1912 г. 1912, № 206. Геофонд треста "Амурзатло".

33. Денисов С.В., Кузнецова Е.П. Результаты поисковых россыпных и рудных месторождений золота в бассейне левых притоков р. Мам (рр. Конинный, Чеборкан, Салга, Кун-Манье) и в верховьях р. Эльги в 1965-1966 гг. 1967, № 012539.

34. Карасков Л.П. Государственная геологическая карта СССР масштаба 1:200 000. Серия Становая. Лист N-52-XI. 1970, № 0501.

35. Купер-Коин В.В. Отчет о полевой работе Удской поисковой партии. 1926, № 433.

36. Кушелев В.Н. и др. Отчет о результатах поисков россыпных месторождений золота в бассейнах рек Чогара и Удыни. 1967, № 012556.

37. Кянина А.И. Результаты гравиметрической съемки масштаба 1:1 000 000 в бассейне верхнего течения р. Зея, в бассейнах рек Уда, Учур и Ам и на правобережье р. Алдан. Отчет се-верной партии за 1968-1969 гг. 1970, № 014053.

Х/ Материалы, место хранения которых не указано, находятся в фонде Дальневосточного ГГУ.

38. М о ш к и н В.Н. и др. Геологическое строение и полезные ископаемые бассейна р.Мак-Половинной. 1953, № 04082.

39. Ф р о л о в Ф.С. Государственная геологическая карта СССР масштаба 1:200 000, серия Удская, лист №-53-ХIV. 1967,

№ 0375.

40. Х е р у в и м о в а Е.Г., Л а р и о н о в В.А., М о р а л е в В.М. Отчет по аэромагнитным работам, проведенным в восточной части Алданского щита. 1957, № 5971.

41. Ч е п и г и н В.Е., О р л о в В.И., С и г о в В.Ф., Ш а р о в Л.А. Геологическое строение и полезные ископаемые рек Ульянина и Улигана. 1969, № 013421.

42. Ш а п о ч к а И.И. и др. Отчет о результатах работ Амгуньской партии за 1958-1960 гг. 1961, № 09666.

ПОКАЗАННЫХ НА ЛИСТЕ №-53-УД КАРТЫ ПОЛЕЗНЫХ ИСКОПАЕМЫХ
МАСШТАБА 1:200 000

Приложение

Индекс квадра- ти на карте	№ на карте	Вид полезного иско- паемого и название (местонахождение) (проявления)	Ссылка на лите- ратуру (номер показан-	Примечание (номер показан-
I	2	3	4	5
МЕТАЛЛИЧЕСКИЕ ИСКОПАЕМЫЕ				
Ч е р н ы е м е т а л л ы				
		Железо и титан		
II-1	10	р.Чогар-Макит	29	Простой (6 м) кварцитов с магнетитом и титаномагнети- том (25-30%)
III-1	I	Водораздел рек Чо- гара и Луты	29	Простой (1,4 м) кварцитов с ти- таномагнетитом (25-30%)
III-1	2	р.Джуцдар	29	В делюми облом- ки кварцитов с титаномагнети- том (25-30%)
III-1	3	"	29	To же (20-25%)
III-1	8	р.Чогар	29	To же

I	2	3	4	5
I	2	3	4	5
III-2 1	Междуречье Чогар- Макит и Чогарма- Макит	29	В деловин глыбы кварцитов с ти- таномагнетитом (20-60%), $Fe_2O_3 = 62\%$	
III-2 3	р.Джагарма	29	Плитообразное тело (14 м) руд- ных пироксенитов с содержанием $Fe_2O_3 = 23,81\%$, $TiO_2 = 7,86\%$	
III-2 4	"	29	Плитообразное тело (12 м) руд- ных пироксенитов с титаномагнети- том и ильменитом (35-40%)	
III-2 5	"	29	Плитообразное тело (6 м) руд- ных пироксени- тов с титаномаг- нетитом и ильме- нитом (25-30%)	
III-2 6	"	29	Водораздел рек Лев.Нимнеград и Прав.Шавликий	
III-2 7	"	29	Водораздел рек Лев.Нимнеград и Прав.Шавликий	
III-2 8	р.Джагарма	29	Плитообразное тело (24 м) руд- ных пироксени- тов с содержа- нием $Fe_2O_3 =$ $30,43\%$, $TiO_2 =$ $8,04\%$	
III-3 2	Водораздел рек Лев.Нимнеград и Лев.Шавликий	29	В деловин глыбы рудных пироксе- нитов с содержа- нием	
III-3 4	Бодораздел рек Лев.Нимнеград и Лев.Шавликий	29	$Fe_2O_3 = 46,13\%$	
III-3 1	р.Чогар	29	В коренном зеле- ни тело (11 м) пироксенитов с содержанием $Fe_2O_3 = 17,71\%$	
III-1 1	"	29	В деловин глыбы кварцитов с ти- таномагнетитом (20-25%)	
III-1 2	"	29	Прослой (4 м) кварцитов с тита- номагнетитом (30-35%)	
III-1 4	"	29	Простой (4 м) кварцитов с со- держанием растворо- мого железа $34,84-40,70\%$, ти- тана $0,56-0,58\%$	

I	2	3	4	5
IV-2	1	р.Джагарма	29	Плитообразное тело (1,5 м) рудных пироксенитов с содержанием $Fe_{2}O_3 = 42,65\%$, $TiO_2 = 20,01\%$
		Медь		
I-1	1	р.Бол. Чайнах	29	Кварцевая жила (0,8 м) с содержанием меди 0,5%
I-3	2	р.Ата	29	Кварцевая жила (0,4 м) с содержанием меди 0,5%
II-4	1	р.Салга	29	Зона (3 м) окварцевания и пиритизации с содержанием меди 0,2-0,7%
III-1	5	р.Чогар	29	В долине глыбы кварца с содержанием меди 0,1-0,3%
III-2	9	"	29	То же
III-2	2	р.Джалгарма	29	То же, 0,3%
Ц В Е Т Н Ы Е М Е Т А Л Л Ы				
I-1	2	Цинк	29	Метаморфическое ореол расщепления цинка и смынка

I	2	3	4	5
		р.Нимиркай	29	Сульфидизированные трубы на площади 0,3 км ² . Содержание цинка 0,05-0,2%
Р е д к и е м е т а л л ы				
		Молибден		
		руч.Утанах	29	Шлиховой ореол
		р.Ванга	29	То же
		руч.Биракан-Дум	29	"
		руч.Лев.Шамыцкий	29	Шлиховой ореол
		р.Нимиркай	29	То же
		Редкие земли		
		р.Ата	33	Шлиховой ореол фергусонита
		Золото		
		р.Салга	33	Шлиховой ореол
		р.Маг	29	Зона (200 м) пиритизированных диаборитов, содержащих 1-3 г/т золота
		р.Чогар	29	Шлиховой ореол
		р.Чогар	29	"
		руч.Прев.Шамыцкий	29	Кварцевая жила (1,4 м) с содержанием 10 г/т золота

		I	II	III
		IV	V	
III-4	I	руч. Грав. Шавлицкий	29	Шлиховой ореол
III-4	2	руч. Лев. Нимиркай	29	То же
IV-1	3	р. Чолар	29	"
IV-1	5	"	29	"
IV-3	1	р. Нимиркай	29	Кварцевая жила (0,18 м) с содержанием 20 г/т золота
НЕМЕТАЛЛИЧЕСКОЕ ИСКОПАЕМЫЕ				
Слюды				
I-3	3	р. Атага	29	Пегматит с мусковитом
I-3	4	"	29	То же
I-3	5	р. Ванга	29	"
II-1	2	р. Эдигу-Чайдах	29	Пегматит с мусковитом
II-1	3	"	29	То же
II-1	4	Междуречье Эдигу-Чайдах и Чолар-Макит	29	"
II-1	5	Междуречье Эдигу-Чайдах и Чолар-Макит	29	"
II-1	6	Там же	29	"
II-1	7	р. Эдигу-Чайдах	29	"

		I	II	III
		IV	V	
II-1	8	Междуречье Эдигу-Чайдах и Чолар-Макит	29	Пегматит с мусковитом
II-2	7	руч. Микитик	29	То же
II-2	8	"	29	"
II-2	5	"	29	"
II-2	6	р. Чолар-Макит	29	"
II-2	7	руч. Микитик	29	"
II-3	2	"	29	"
II-3	3	"	29	"
II-3	1	р. Ванга	29	"
II-3	2	"	29	"
II-3	3	"	29	"
II-3	5	р. Мак	29	"
II-3	6	р. Амнускан	29	"
II-4	2	р. Мак	29	Пегматит с мусковитом
II-4	4	"	29	То же
II-4	5	"	29	"

I	2	3	4	5
III-1 6	р.чогар Плезоквард	29	Валун монокри- стала горного хрусталия	

В фронтире прошумеровано 95 стр.

Редактор И.С.Лудорова	Технический редактор С.К.Леонова
Корректор Л.П.Сеникова	
Сдано в печать 27.05.81.	Подписано к печати 25.03.85.
Тираж 198 экз.	Формат 60x90/16
	Леч.л. 6,0
	Заказ 26 с

Центральное специализированное
производственное издательство
изделий "Советский фонд"

1